

Всего в отчете 32 листов текста
в том числе фотаренг 1 шт.
чертежей 1 шт.

Графических приложений 1 лист.

Всего 70 листов
22 " отчета 1974.
6 " Бур
(Подпись)

813346
МИНИСТЕРСТВО ГЕОЛОГИИ СССР
Министерство геологии РСФСР
ЯКУТСКОЕ ОРДЕНА ЛЕНИНА ТЕРРИТОРИАЛЬНОЕ ГЕОЛОГИЧЕСКОЕ УПРАВЛЕНИЕ
Уч. № 096

СЕКРЕТНО
э.0481
4/е, 2 кг нуло
от 31.07.07.

ГЕОЛОГИЧЕСКАЯ КАРТА СССР

МАСШТАБА 1:200 000

СЕРИЯ БОДАЙБИНСКАЯ

Лист Р-50-ХХVII

Объяснительная записка

Составитель *М.В.Михайлов*

Редактор *В.Л.Масайтис*

Утверждено Научно-редакционным советом ВСЕГЕИ

27 декабря 1966 г., протокол № 5

МОСКВА 1974

ВВЕДЕНИЕ

Территория листа Р-50-ХХУП геологической карты СССР масштаба 1:200 000 (Бодайбинская серия) по административному делению относится к Ленскому району Якутской АССР и ограничена координатами $60^{\circ}40' - 61^{\circ}20'$ с.ш. и $II6^{\circ}00' - II7^{\circ}00'$ в.д. Эта территория расположена в нижнем течении рек Нюи и Джербы в области Приленской плоской возвышенности, переходящей на широте нижнего течения р. Эргеджей в южную окраину Вилюйской равнины. Приленская плоская возвышенность представляет собой всхолмленное плато с колебанием абсолютных отметок водоразделов от 495 до 400 м. Гидросеть здесь сильно врезана, относительные превышения водораздела над днищами долин составляют иногда 300 м (р.Нюя), а большей частью 100-200 м (р.Джерба и др.).

Южная окраина Вилюйской равнины характеризуется слабо расчлененным рельефом, плоскими полого-увалистыми водоразделами. Абсолютные отметки водоразделов колеблются в пределах 370-300 м, а относительные превышения водоразделов над днищами долин - 40-80 м (реки Тумуллур, Джерба).

Главная водная артерия - р.Нюя на территории листа имеет длину 30 км, ширина русла 200-300 м. Расход воды р.Нюя в летне-осенний период составляет $70-200 \text{ м}^3/\text{сек}$, глубина 0,6-4,0 м.

Второй крупной рекой района работ является р.Джерба, которая пересекает восточную часть исследованной площади с севера на юг. Длина ее в пределах района работ 100 км, ширина 30-40 м, глубина 0,4-2,0 м, скорость течения 1,2 м/сек.

Такие крупные водотоки, как р.Утакан (приток р.Нюи), реки Эргеджей, Сарын (притоки р.Джербы) имеют глубокие и широкие долины, изобилуют отмелами, косами, перекатами и характеризуются непостоянством водотоков. Ширина их русел составляет 20-30 м, глубина до 2 м, скорость течения 0,8-1,0 м/сек.

Мелкие речки Кутаны, Яшина, Улугур и др. представляют собой ручьи, почти пересыхающие в засушливый период. Долины их круто-склонные и узкие в приусьевой части, широкие и слабо врезанные в верховьях.

На пойменных и надпойменных террасах крупных рек развиты старицкие озера.

Климат района резко континентальный и характеризуется продолжительной холодной зимой, когда абсолютные температуры воздуха достигают -58°C , сменяющейся коротким относительно жарким летом (июль-август) с максимальной температурой $+36^{\circ}\text{C}$.

Основные климатологические данные по наблюдениям Мухтуйской гидрометеорологической станции: среднегодовая температура $-6,3^{\circ}\text{C}$, среднемесячные: января $-30,6^{\circ}\text{C}$, июля $+17,5^{\circ}\text{C}$; первые заморозки наступают в конце августа; безморозный период 78 дней; среднегодовое количество осадков 336 мм, из них в летний период выпадает 288 мм; скорость ветра 1,9-3,7 м/сек, преобладающее направление ветров западное и северо-западное; устойчивый снежный покров образуется в конце октября, разрушается в начале мая.

Многолетняя мерзлота мощностью до 200 м распространена повсеместно. Средняя температура многолетней мерзлоты, по данным Якутского института мерзлотоведения, около $-2,5^{\circ}\text{C}$. Мощность слоя сезонного промерзания колеблется от 1,5 до 3 м.

Растительный и животный мир типичен для зоны тайги. Из древесных произрастают лиственница, сосна, ель, кедр, пихта, береска, осина. Строевой сосновый лес занимает сплошные массивы на поверхности высоких террас и водоразделов с песчанистыми почвами. По долинам рек и ручьев произрастают карликовая береска, тальник, мхи, ягодные. Травянистый покров встречается в пойме и на I надпойменной террасе крупных притоков.

Типичными представителями животного мира являются: из копытных - лось, северный олень, сибирская косуля; из хищников - медведь, волк, росомаха, горностай, ласка; из грызунов - заяц-беляк, белка, ондатра, бурундук, мыши; из пернатых - немногочисленные виды уток, дичь боровая (тетерев, белая куропатка, глухарь, рябчик) и болотная (кулик, цапля, серый журавль - красавка), хищники (полярная сова, ястреб-тетеревятник, пустельга, болотный лунь) и певчие птицы.

Из рыб преобладающее распространение имеют щука, окунь, ленок, таймень.

Почвы, развитые на высоких террасах и водораздельных склонах, серые лесные, благоприятные для выращивания зерновых и овощных культур. Почвы террас низкого уровня - песчанистые засоленные-

ные, требующие при использовании их для нужд народного хозяйства внесения значительного количества органических удобрений.

На исследованной территории имеется один поселок Нёрюктей, расположенный на р.Нюе, где живут две якутские семьи, занимающиеся сельским хозяйством, охотой и рыбной ловлей.

Пос.Нёрюктей связан проселочной автомобильной дорогой с пос.Нюя, в котором располагаются отделения Ленского леспромхоза, совхоза "Ленский", почта, сельский совет, школа, больница, магазины. Пос.Нюя связан с районным центром - г.Ленском авиалинией и проселочной автодорогой, а в летнее время - водным путем по р.Лене.

Местное население - якуты, русские, татары и др. заняты земледелием, скотоводством, рыбной ловлей и на лесозаготовительных работах.

В юго-восточной части площади работ проходят проселочная дорога и телефонная линия, соединяющая пос.Турукта, расположенный на р.Лене, с пос.Сунтар, расположенным на р.Вилюе.

В пределах площади листа передвижение возможно в летнее время вьюично, а зимой - санно-тракторным транспортом.

Передвижение по р.Нюе на моторных лодках и легких катерах возможно в течение всего летнего периода. Река Джерба проходима для моторных лодок лишь в период паводка.

Геологические исследования в бассейне среднего течения р.Лены начались в середине XIX века. Исследованиями А.Л.Чекановского (1877 г.), Д.И.Мушкетова (1903 г.), А.Г.Ржонсицкого (1916-1918 гг.), В.А.Обручева (1923 г.), Г.Э.Фришенфельда (1933 г.), Д.К.Зегебарта (1933 г.) были получены первые общие сведения о геологическом строении рассматриваемой территории.

Период 1933-1947 гг. охватывает этап маршрутных поисковых исследований. В 1933 г. сотрудником НИГРИ З.М.Старостиной были проведены маршрутные исследования по р.Лене на отрезке пос.Киренск - р.Бирюк, а также в нижних течениях рек Бол. и Мал.Патома и Витима. В итоге работ была разработана стратиграфическая схема палеозон и дана предварительная оценка нефтеносности этого района.

В течение ряда лет по долинам рек Лены и Нюе Е.Э.Разумовской (1942 г.) и Ю.К.Дзевановским (1943 г.) проводились работы с целью выявления промышленных месторождений соли. Отчеты по этим работам содержат ценные данные не только по соленосности, но и по стратиграфии, тектонике, гидрогеологии и перспективам нефтегазоносности.

Начиная с 1949 г., в связи с открытием россыпных месторож-

дений алмазов на р.Вилюе, наступает период систематического изучения Лено-Вилюйского водораздела. Широко развертываются геолого-геоморфологические и поисково-разведочные работы партий Якутского геологического управления, геологического института АН СССР, ВАГТа и других организаций.

В 1949 г. Г.В.Бархатов в окончательном отчете о работах Нойской геологопоисковой партии масштаба 1:200 000 освещает вопросы стратиграфии, тектоники и дает положительную оценку нефтеперспективности района.

В 1949 г. П.М.Охлопковым проведена геологическая съемка масштаба 1:50 000 в нижнем течении р.Джербы. Автором приведено довольно подробное описание стратиграфии и тектоники района и указывается на необходимость изучения более глубоких частей разреза для выявления структур, благоприятных для накопления нефти и газа.

В 1950-1951 гг. ВСЕГЕИ в сотрудстве с ЯГУ была организована Средне-Ленская партия, руководимая Е.Э.Разумовской и О.И.Никитиной. Для среднего течения рек Лены и Ной в итоге работ была составлена стратиграфическая схема отложений ордовика и силура юга Сибирской платформы. Эта схема легла в основу унифицированной стратиграфической схемы, принятой Межведомственным совещанием в 1956 г.

В 1951 г. Л.К.Комита проводила маршрутную геолого-геоморфологическую съемку масштаба 1:200 000 по р.Джербе, сопровождающуюся отбором шлихов. В результате проведенных работ она пришла к выводу о малой перспективности района для поисков алмазов.

В 1951 г. Г.С.Фрадкин и др. проводили комплексную геологическую съемку масштаба 1:200 000 на площади, частично охватывающей территорию листа. Фактический материал, собранный партией, не внес существенных корректиров в представления предшествующих исследователей. Впоследствии карта была признана некондиционной и переведена в масштаб 1:50 000.

В этом же году М.А.Коротких проведена геологоструктурная съемка масштаба 1:50 000 в нижнем течении р.Ной (юго-западная часть площади листа Р-50-ХХУП). Работы показали, что закартированная ранее Г.В.Бархатовым Утаканская антиклиналь является северо-восточным окончанием Салды-Кельской структуры.

В том же 1951 г. П.М.Охлопковым в среднем течении р.Джербы в пределах площади листа была проведена геологоструктурная съемка масштаба 1:100 000. В результате работ было выявлено широкое развитие здесь отложений ордовика, силура и юры, а также закартирована Верхнеджербинская структура.

В 1951-1953 гг. на территории листа и прилегающих площадях партиями ВАГТа (А.П.Белова, В.И.Высоцкий) была проведена площадная съемка, давшая материал для составления листов геологической карты СССР масштаба 1:1 000 000.

В 1952-1954 гг. в среднем течении р.Лены рядом исследователей (Г.П.Левин, 1952 г.; С.С.Коржуев, 1952-1953 гг.; И.С.Чеботарева, 1954 г.) проведены геоморфологические работы, позволившие выявить закономерность строения и историю формирования рельефа, а также произвести геоморфологическое районирование исследованного района. С.С.Коржуевым проведено стратиграфическое расчленение аллювиальных отложений р.Лены.

В 1952-1956 гг. изучением гидрогеологии бассейна р.Ной занимался Е.А.Басков. Его работы до настоящего времени являются наиболее полными сводками.

В 1957 г. изученная площадь была покрыта аэромагнитной съемкой масштаба 1:200 000 (партия № 4 Амакинской экспедиции под руководством Б.В.Бабушкина). Этими работами выявлен ряд аномалий трубочного типа и линейных аномалий дайкового типа.

Начиная с 1958 г. площади, смежные с территорией листа Р-50-ХХУП, были покрыты комплексной геологической съемкой масштаба 1:200 000, проведенной партиями Якутской центральной геологосъемочной экспедиции (С.А.Тимофеев, А.И.Ушаков, В.М.Олешко, В.М.Валицкий). Материалы съемок позволили уточнить геологическое строение этих площадей и отнести их в число перспективных на нефть.

На западной половине территории листа в 1963 г. В.П.Корчагиным и Ю.С.Нахабцевым были проведены редакционно-увязочные и съемочные работы масштаба 1:200 000. В 1964 г. при повторном проведении редакционно-увязочных работ на восточной половине листа М.В.Михайловым часть площади работ 1963 г. была переснята, на части площади были вновь проведены редакционно-увязочные маршруты. При этих работах была уточнена стратиграфия силурийских отложений и выделены отложения девонской системы.

Геологические материалы, полученные в результате работ 1963-1964 гг., послужили основой для составления листа Р-50-ХХУП геологической карты СССР масштаба 1:200 000 и объяснительной записки к нему.

Геологическая карта территории листа Р-50-ХХУП и объяснительная записка составлены в Центральной геологосъемочной экспедиции Якутского ТГУ.

СТРАТИГРАФИЯ

В геологическом строении территории листа Р-50-ХХУП принимают участие ордовикские, силурийские, девонские, триасовые, юрские и четвертичные отложения, а также магматические образования среднепалеозойского возраста. Стратиграфическое расчленение отложений, развитых на территории листа, производится согласно легенде Бодайбинской серии листов геологической карты СССР масштаба 1:200 000.

ПАЛЕОЗОЙ

ОРДОВИКСКАЯ СИСТЕМА

Нижний отдел (0₁)

Отложения нижнего отдела ордовикской системы на территории листа слагают центральные части Верхнеджербинской, Нижнеджербинской и Салдыкельской антиклиналей и Утаканскую седловину. Они образуют выходы на дневной поверхности на междуречье Джербы и Утакана, в долине р.Джербы, в юго-восточной и юго-западной частях площади листа Р-50-ХХУП.

Раннеордовикский возраст этих отложений устанавливается на основании находок в них остатков брахиопод *Finkelnburgia* sp. (определения О.И.Никифоровой) и наутилоидей *Ellesmeroceras* sp. *Albertoceras* sp. (определения З.Г.Балашова) на р.Сарын (приток р.Джербы) на водоразделе рек Джербы и Утакан, в низовьях р.Утакан. Толщу пород, относимых к нижнему отделу ордovика в восточной части Юйско-Джербинской владины, по литологическим признакам можно разделить на четыре пачки.

Нижняя пачка, не выходящая на поверхность в пределах территории листа, представлена чередующимися серыми, зеленоватыми и реже пестрыми доломитами с зеленоватыми и реже бордовыми алевролитами. Мощность пачки 70 м.

Вторая пачка сложена известняками серыми, иногда зеленоватыми, крепкими, с раковистым изломом, мелкозернистыми и среднезернистыми, толсто- и среднеплитчатыми, иногда известняками пятнистыми с серыми и желтоватыми участками, брекчевидной текстурой, редко известняки песчанистые. Мощность 140-180 м.

Третья пачка пород нижнего ордовика представлена доломитами серыми, с ровным изломом, крепкими, мелкозернистыми, беспорядочной текстурой, плитчатыми. Среди доломитов встречаются разности

со слабо заметной микрослоистостью, тонкоплитчатые. Мощность пачки 30-50 м.

Четвертая пачка представлена чередующимися различными известняками, песчанистыми известняками и песчаниками, известняки часто содержат глауконит. Известняки серые с голубоватым оттенком, иногда светло-серые, почти белые, с раковистым изломом, как правило, очень крепкие, толсто- и среднеплитчатые, реже массивные.

Породы часто глинистые и песчанистые, часто содержат значительную примесь глауконита, отчего приобретают ярко-зеленый цвет. В известняках, особенно в верхней части пачки, наблюдаются прослои плоскогалечных конгломератов, известковистых, сложенных окатанными плоскими гальками светлого известняка, сцементированными более темным известняком.

Песчаники обычно мелкозернистые, желтоватые и серые, кварц-полевошпатовые, известковистые, толстоплитчатые, горизонтально-слоистые, реже косослоистые. Количество песчаников увеличивается к верхней части разреза. Мощность пачки 80-100 м.

В пределах площади листа обнажены только верхние три пачки пород нижнего ордovика суммарной мощностью 250-330 м.

Изучение пород нижнего ордовика показало, что здесь могут быть выделены следующие группы пород: известняки, доломиты, алевролиты, песчаники и переходные разности пород. Среди известняков выделяются доломитизированные и песчанистые разновидности.

Чистые разности известняков сложены неравномернозернистым кальцитом. В основной массе рассеяны гидроокислы железа, глауконит, халцедон.

В доломитизированных известняках в их мелкозернистой массе кальцита наблюдаются округлые пятна доломитизации, в песчанистых - 25-30% от всей массы породы составляют мелкие неокатанные зерна кварца и полевого шпата.

Доломиты серые и зеленовато-серые, от тонко- до толстоплитчатых, глинистые, песчанистые, часто кальцитизированные. Под микроскопом основная масса породы состоит из мелкозернистого агрегата доломита. Псаммитовый материал (5-30%) представлен различными по величине и окатанности зернами кварца и полевого шпата. Песчаники кварц-полевошпатовые, серые, желтоватые, мелкозернистые, с карбонатным цементом базального, порового типа или типа соприкосновения, с включениями глауконита. Порода на 20-35% состоит из кварца, на 20-30% из полевых шпатов, содержание глауконита достигает 3-5%, фосфатов 3-5%; биотит, мусковит, апатит, руровая обманка, сфен, ставролит, хлорит, эпидот, турмалин, ру-

тил встречаются в единичных зернах.

Алевролиты серые, с зеленоватым и желтоватым оттенком, реже красно-бурые, микрослоистые, плитчатые, с землистым изломом, некрепкие. Размер зерен 0,03-0,08 мм. Основную массу породы составляет хорошо отсортированный среднеокатанный полевошпат-кварцевый терригенный материал.

Мощность отложений нижнего ордовика изменяется от 250 до 330 м.

Средний - верхний отделы (O_2-O_3)

Отложения среднего-верхнего ордовика в пределах района работ слагают крылья Витимо-Джеринской и Нюйской синклиналей и образуют выходы на дневной поверхности в междууречье Джерба - Утакан и в долине рек Джербы, Утакана, Нуи и Улугур. Эти отложения представлены пестроцветной карбонатно-терригенной толщей пород.

По литологическим признакам в разрезе пород среднего-верхнего ордовика выделяются три пачки пород.

Первая, нижняя пачка сложена пестрыми алевролитами, глинами и доломитами с редкими прослоями светлых кварцевых песчаников и известняков. В разрезе пачки преобладают алевролиты мелкозернистые, плитчатые, известковистые, иногда почти листоватые, с землистым изломом, некрепкие. В несколько меньшем количестве в разрезе присутствуют глины красного, реже зеленоватого цвета, оскольчатые, невязкие, очень плотные. Доломиты обычно красно-бурые, алевритистые и глинистые, с землистым изломом, часто горизонтально-микрослоистые, некрепкие. Песчаники присутствуют в виде прослоев. Цвет их обычно светло-серый, реже буроватый. Известняки серые, иногда розоватые, плитчатые, часто органогенно-обломочные, крепкие. Песчаники мелкозернистые, кварцевые, с хорошо окатанными зернами, известковистые. В нижней части пачки преобладают глины и алевролиты, здесь же обычно встречаются прослои песчаников и известняков. Доломиты появляются в верхней половине разреза. В нижней части разреза также больше прослоев зеленоватых пород, при преобладающем красно-буром цвете. К верхней части разреза пачки прослои зеленоватых разностей пород убывают. По всему разрезу на плоскостях наслойния пород наблюдаются знаки волновой ряби и глиптоморфозы по каменной соли. Мощность пачки 200-290 м.

Вторая пачка сложена красными доломитами и глинами. Доломиты красно-бурые, крепкие, обычно с землистым изломом, алеврити-

стые и глинистые, среднеплитчатые, иногда микрослоистые, чаще беспорядочной текстуры. Среди доломитов наблюдаются прослои красных оскольчатых глин, которые распространены более или менее равномерно по всему разрезу, мощности их прослоев 0,5-1 м. На плоскостях наслойния доломитов наблюдаются следы волновой ряби и глиптоморфозы по галиту. Мощность пачки 100-140 м.

Третья пачка сложена светлыми доломитами, алевролитами и реже глинами. Доломиты алевритистые, розовые, прослоями светло-розовые и голубовато-серые, иногда песчанистые. Породы крепкие, мелкозернистые, плитчатые. Алевролиты красно-бурые, некрепкие, мелкозернистые, известковистые, тонкоплитчатые. Бордовые оскольчатые глины присутствуют в виде прослоев. В разрезе преобладают доломиты, алевролиты присутствуют в подчиненном количестве. Общий цвет отложений описываемой пачки пород обычно светло-серый, слегка красноватый с бордово-красными прослоями. Мощность пачки 50-70 м.

Суммарная мощность отложений среднего-верхнего ордовика 350-500 м.

Максимальные мощности наблюдаются в юго-восточном углу площади, при движении к северо-западу мощность отложений среднего-верхнего ордовика постепенно убывает и в северо-западном углу в бассейне р. Яшина достигает 350 м. Еще северо-западнее, за пределами территории листа, на р. Нуе в районе устья р. Оччугуй-Мурбай мощность этих отложений составляет 240 м (Михайлов, Тимофеев, 1965 г.).

Изучение пород среднего-верхнего ордовика под микроскопом показало, что среди них можно выделить органогенно-обломочные известняки, доломиты, алевролиты, песчаники и переходные разности пород.

Известняки с органогенно-обломочной структурой состоят из обломков раковин брахиопод и мшанок, сцепментированных крупно- и среднезернистым кальцитом. В подчиненном количестве присутствует алевритовый материал.

Доломиты обычно алевритовые, иногда окисленные, с микрозернистой мозаичной структурой. В терригенной части присутствуют плохоокатанные зерна кварца размером 0,02-0,05 мм в количестве до 30-45%. Содержание гидроокислов достигает 10%.

Алевролиты обычно красновато-бурых и зеленоватых тонов, мелкозернистые, глинистые, известковистые, иногда тонкослоистые до листоватых, с землистым изломом, некрепкие.

Породы имеют мелкозернистую структуру, полосчатую текстуру. Порода на 50-60% представлена обломочным материалом, кварцем и

полевыми шпатами (40–65%), незначительную примесь составляют мусковит (1–2%), биотит (1–5%) и хлорит (1–2%). Цемент породы карбонатный и состоит из ромбических или неправильных зерен доломита.

Песчаники серые и светло-серые, почти белые, мелкозернистые, крепкие, плитчатые, кварцевые или кварц-полевошпатовые.

Основную массу породы (70–80%) составляют зерна кварца и полевых шпатов хорошей окатанности и сохранности. Незначительную примесь в песчаниках составляют фосфаты (до 4–6%), мусковит (до 1%), биотит (3–5%), хлорит (до 1%). Размер зерен от 0,05 до 0,3 мм.

Возраст отложений, относимых к среднему-верхнему ордовику, устанавливается на основании находок брахиопод *Evenkina* sp., *Evenkina lenaica* (Gir.), *Atelelasma* sp., (определения О.И.Никифоровой), остракод *Tetradella maslovi* v.Ivan. (определения А.Абузик). Указанная выше фауна собрана в отложениях среднего-верхнего ордовика на р.Джербе в районе устья р.Курун-Юрях, в 3 км выше устья р.Кюель-Эргелях, на левом берегу р.Джербы, в верховьях р.Куранах-Юрях.

Между отложениями нижнего и среднего-верхнего ордовика имел место перерыв в осадконакоплении, выражавшийся в резкой смене вещественного состава пород, полном обновлении комплекса фауны, наличии на контакте выветрелых пород нижнего ордовика.

СИЛУРИЙСКАЯ СИСТЕМА

Отложения силурийской системы в пределах площади листа Р-50-ХХУП обнажаются двумя изолированными участками в бассейне р.Нюя. Первый участок расположен на междуречье Яшина и Утакан, второй – на р.Нюя в юго-западном углу рассматриваемой территории. В разрезах силурийских отложений выделяются три свиты: меличанская и утаканская свиты ландоверского яруса и нийская свита венлокского яруса.

Нижний отдел

Ландоверский ярус

Меличанская свита ($S_1 ml$). Стратотипический разрез свиты расположен на р.Меличан, в Березовской впадине. В Нийско-Джербинской впадине за стратотип может быть принято обна-

жение, расположенное на левом берегу р.Нюи, в 30 км от устья.

Граница отложений среднего-верхнего ордовика и меличанской свиты проводится по смене пестроцветных глинисто-карбонатных пород среднего-верхнего ордовика светло-серыми доломитами меличанской свиты. Меличанская свита представлена однообразными доломитами серых, желтовато-серых, очень редко розоватых тонов, иногда алевритистыми и известковистыми. Породы обычно крепкие, с раковистым изломом, толстоплитчатые, средне- и мелкозернистые, с беспорядочной и волнистослоистой текстурой. В толще наблюдаются редкие прослои алевролитов зеленовато-серых, реже красноватых, плитчатых, с землистым изломом, некрепких.

Микроскопическое изучение доломитов показывает однообразие их строения: им свойственна мелкокристаллическая мозаичная и пелитоморфная структуры, волнистослоистая и полосчатая текстуры. Размер зерен доломита составляет 0,03–0,2 мм. В породе наблюдаются редкие зерна кальцита размером 0,5–1,0 мм, а также единичные – мусковита, магнетита. В отдельных разностях до 20% составляет алевритовая примесь, представленная кварцем, полевыми шпатами, кремнем, единичными зернами магнетита, циркона и чешуйками биотита. Размер их 0,05–0,08 мм. Мощность свиты равна 160 м.

Возраст отложений, относимых к меличанской свите, устанавливается на основании сопоставления с соседним районом (лист Р-50-ХХУ), где в этих отложениях М.В.Михайловым в нижней части свиты, в районе устья р.Яшина, на левом берегу р.Нюи найдены брахиоподы *Camarotoechia elegans* Nikif.

Утаканская свита ($S_1 ml$). Свита в пределах площади листа Р-50-ХХУП распространена там же, где подстилающая ее меличанская свита. Стратотипический разрез свиты расположен в бассейне р.Утакан (откуда свита получила свое название), на ее притоке р.Сюлях, в 5 км от устья последней. На меличанской свите утаканская свита залегает согласно. Нижняя граница свиты устанавливается по смене вверх по разрезу серых доломитов пачкой голубоватых и розовых алевролитов.

Свита сложена разнообразными глинистыми известняками, алевролитами, мергелями и глинами, с прослойками гипса в верхней части разреза. Для пород свиты характерны голубоватые, красноватые, желтоватые и розоватые тона окраски пород. Местами наблюдаются прослои красно-бурых окольчатых алевролитов.

Среди описываемых пород при микроскопических исследованиях выделяются алевритистые известняки, алевролиты, реже доломиты и переходные между этими разностями породы.

Известняки обычно серые, чуть голубоватые, иногда с красно-

вальным оттенком, обычно глинистые и алевритистые, часто переходящие в мергели. Породы мелкозернистые, горизонтально-микрослоистые или с беспорядочной текстурой, с землистым изломом, некрепкие. Известняки на 60% сложены таблитчатыми агрегатами кальцита величиной до 0,5 мм, неправильной, реже изометричной формы. Алевритовая примесь (до 40%) представлена кварцем (20%), кремнем (до 10%), полевыми шпатами (до 10%), встречаются также единичные зерна биотита, рудного минерала, апатита и циркона. Кластический материал имеет размеры 0,02-0,1 м, плохо окатанный. Часто наблюдается также глинистый и железистый материал.

Алевролиты утаканской свиты зеленовато-серые и зеленые, розовые и реже красно-бурые, мелкозернистые, известковистые, беспорядочной текстуры, тонкоплитчатые, некрепкие, с землистым изломом. Алевролиты в основной массе состоят из терригенного материала, представленного полуокатанными зернами кварца (30%), полевого шпата и плагиоклаза (25-60%). В единичных зернах наблюдаются рутил, гранат, биотит, мусковит, фосфаты, циркон. Породы средне- и крупнозернистые, цемент карбонатный.

Доломиты серые, с округлыми пустотами (диаметром до 1 см), выполненными более рыхлым и желтым алевритовым доломитом, отчего порода приобретает пятнистый цвет. Доломиты массивные, крепкие. Встречаются также алевритистые доломиты однообразной серой зеленоватой окраски. Породы мелко- и среднезернистые, с беспорядочной текстурой. Порода на 60-70% состоит из ромбоэдров и изометричных зерен доломита размером 0,01-0,1 мм, кальцит составляет не более 10%.

Алевритовый материал плохо окатан и представлен кварцем (10-15%), кремнем (10%), полевыми шпатами (5%), встречаются также единичные зерна биотита, мусковита, сфена, турмалина. Размеры алевритового материала 0,01-0,07 мм. В верхней части разреза наблюдаются прослои гипсов грязно-белого цвета, слоистые, мощность их достигает 30 см.

Мощность утаканской свиты 200 м.

Возраст свиты устанавливается на основании находки в ней остатков брахиопод *Camarotoechia elegans* Nikif. (определение О.И.Никифоровой). фауна найдена на правом берегу р.Нюи, ниже устья р.Хайа-Юрайе.

Венлокский ярус

Н ю и с к а я с в и т а (S_1^{nu}). Отложения свиты сохранились от размыва в юго-западном углу площади листа Р-50-ХХУП.

Стратотипический разрез расположен в нижнем течении р.Нюи, на правом берегу, в 5 км выше устья р.Куранах-Юрях. На подстилающих отложениях утаканской свиты породы нюйской свиты залегают согласно. Нижняя границы свиты проводится по смене голубоватых и красноватых алевролитов утаканской свиты серыми известняками нюйской свиты.

Нюйская свита сложена известняками серыми и желтоватыми, иногда с зеленоватым и розовым оттенком, крепкими, плитчатыми, горизонтально-микрослоистыми. В верхней части свиты появляются прослои доломитов серых, крепких, массивных, толстоплитчатых, беспорядочной текстуры, а также конгломератов, состоящих из галек известняков и обломков органических остатков плохой сохранности, сцементированных известковистым цементом. По всему разрезу наблюдаются прослои алевролитов светлоокрашенных голубоватых и красноватых, известковистых. Среди карбонатных пород встречаются водорослевые разности.

Под микроскопом видно, что известняки мелкозернистые, беспорядочной и неяснослоистой текстуры; порода на 70-90% состоит из мелкоагрегатного кальцита, примесь доломита составляет 5-15%, среди алевритовых зерен преобладают кварц (8-10%) и полевые шпаты (до 5%). Алевритистые частицы слабо окатаны, размеры их 0,01-0,03 мм. Алевролиты и доломиты нюйской свиты в общем аналогичны описанным в утаканской свите. Мощность свиты 100 м.

Возраст отложений нюйской свиты определяется на основании находок остатков криноидей, собранных К.И.Малковым в этих отложениях в верховьях р.Меличан (Березовская впадина). Р.С.Елтышевой определены следующие формы: *Pentagonocyclus vielacene* Yelt., *Pentagonocyclus bullosus* Yelt., *Pentagonopentagonalis quinquelobatus* Yelt.

ДЕВОНСКАЯ СИСТЕМА

Отложения, выделяемые в девонскую систему, в пределах Ньюско-Джербинской впадины впервые установлены М.В.Михайловым в 1964 г. и выделены в неруктейскую свиту. В 1965 г. при совместных работах в центральной части Витимо-Джербинской синклиналии, на Ньюско-Ленском водоразделе, южнее площади листа Р-50-ХХУП В.Л.Масайтисом, М.В.Михайловым и А.И.Ушаковым наблюдалось более высокие части разреза среднепалеозойских отложений, содержащие покровы базальтов и их туфов. Эти отложения выделены в тенгилыхскую свиту.

Средний отде^л (?)

Нерюктейская свита ($D_2^{n_1}$). Отложения нерюкте^{йской} свиты развиты в центральной части Витимо-Джербинской синклинали, в юго-западном углу площади листа Р-50-ХХУП, на Нойско-Ленском водоразделе.

На подстилающих отложениях нойской свиты в пределах листа Р-50-ХХУП нерюктейская свита залегает несогласно. Аналоги нерюктейской свиты в Березовской впадине залегают с угловым несогласием на отложениях нижнего палеозоя. В настоящее время установлено, что юго-западнее, на правобережье р.Лены, нойская свита со стратиграфическим несогласием залегает на породах нижнего палеозоя.

Свита сложена красно-бурыми алевритистыми известняками и известковистыми доломитами, некрепкими, с землистым изломом, плитчатыми, беспорядочной текстуры. Породы имеют характерный шоколадно-бурый цвет. Описанные породы чередуются с известняками светло-серыми, плитчатыми, алевритистыми, с землистым изломом. Встречаются прослои красно-бурых оскольчатых глин. По всей толще наблюдаются прослои красно-бурых плитчатых алевролитов, известковистых, с землистым изломом.

Известняки и известковистые доломиты нерюктейской свиты сложены кальцитом (40-30%) и доломитом (5-55%), алевритовая примесь составляет 4-5%. Ромбики доломита имеют размер 0,03-0,08 мм, кальцит образует мелкозернистые агрегаты зерен. Алевритовая примесь представлена зернами кварца, полевого шпата и чешуйками сиды. Порода обычно неравномерно пропитана гидроокислями железа.

Алевролиты на 70-80% сложены обломками зерен кварца и полевого шпата, кроме того, встречаются биотит, циркон, гранат и рудный минерал. Размер зерен обычно 0,16-0,025, реже 0,04 мм. Структура алевритовая, мелкозернистая, текстура беспорядочная. Порода пропитана гидроокислями железа.

Возраст нерюктейской свиты определяется на основании сопоставления с районом Ыгындинской впадины, где литологически сходные отложения, залегающие на силуре и перекрываемые базальтами, содержат фауну живетского яруса среднего девона. Нерюктейская свита также залегает на силуре и перекрывается базальтами тенгильских свит (за пределами территории листа). На основании этого нерюктейская свита условно датируется средним девоном.

Видимая мощность свиты 50 м.

МЕЗОЗОЙ

ТРИАСОВАЯ СИСТЕМА, ВЕРХНИЙ ОТДЕЛ - ЮРСКАЯ СИСТЕМА,
НИЖНИЙ ОТДЕЛ НЕРАСЧЛЕНЕННЫЕ

Иреляхская свита ($T_3-J_1^{n_1}$). Отложения иреляхской свиты в пределах площади листа Р-50-ХХУП наблюдались на левом берегу р.Джербы, в 0,8 км ниже устья р.Эттях. Залегают породы, относимые к иреляхской свите, на карбонатных породах нижнего ордовика и перекрываются песками и галечниками укугутской свиты нижней юры.

Глинистые известняки нижнего ордовика выветрели, местами приобрели ржаво-бурый цвет за счет окисления. Породы окварцованны и пиритизированы. Эта толща выветрелых пород с сульфидами обычно наблюдается в основании иреляхской свиты. Непосредственно на окварцованные породы ложится пачка зеленоватых вязких глин, местами ожелезненных, с прослоями углистого вещества с включениями обломков древесины. В нижней части слоя глин встречаются мелкие желваки пирита, сцепленные глиной черного цвета. Глины перекрываются мелкозернистыми песками укугутской свиты.

Изучение глин методом окрашивания показало, что преобладающими минералами в них являются гидрослюды и монтмориллонит.

Возраст отложений, относимых к иреляхской свите, определяется на основании сходства с аналогичными образованиями на реках Вилой и Ирелях, где в этих отложениях присутствуют спорово-пыльевые спектры рэт-лейаса.

Мощность отложений иреляхской свиты 15-20 м.

ЮРСКАЯ СИСТЕМА

Нижний отде^л

Укугутская свита ($J_1^{n_1}$). Континентальные отложения укугутской свиты развиты в северной части территории листа. Эти породы с угловым несогласием залегают на поверхности дислоцированных и размытых отложений нижнего палеозоя. Отложения укугутской свиты по литологическим признакам подразделяются на две пачки: нижнюю - песчано-конгломератовую и верхнюю - песчаную.

Отложения нижней пачки представлены песчаниками разнозернистыми, с плохоокатанным кластическим материалом, желтовато-коричневого цвета, средней крепости, косослоистыми. В песках наблюдаются прослои валунно-галечниковых конгломератов мощностью

до 2 м и менее. Конгломераты залегают в виде быстро выклинивающихся по простирию прослоев. В этой пачке, кроме того, наблюдается несколько линз серых алевролитов, среднезернистых, плитчатых. Мощность пачки 36 м.

Верхняя пачка укугутской свиты сложена однообразной толщей разнозернистых песков кварц-полевошпатового состава с прослойми и линзами глин, песчаников, гравелитов и галечников небольшой мощности. Пески большей частью косослоистые, слабо оклензенные, несортированные. Видимая мощность пачки 100 м.

В составе конгломератов и галечников преобладают хорошо окатанные гальки и изредка валуны кварца, кварцита, роговиков, порфиритов, кварцевых порфиров, кремня, песчаников, халцедона, алевролитов и долеритов. Последние два типа пород имеют местное происхождение.

При микроскопическом изучении песчаников выделяются следующие разновидности: песчаник полимиктовый, алевритовый, оклензенный, с включениями кварцевого гравия размером 2-4 мм, песчаник олигомиктовый.

Полимиктовые песчаники состоят из кварца (50%), кварцита (30%), микроклина (10%), плагиоклаза (10%). Структура неравномернозернистая с лимонитовым цементом разъединения. Окатанность зерен средняя.

Песчаник олигомиктовый состоит из кварца (90%), кварцита, микроклина, олигоклаза (10%) и единичных зерен биотита. Цемент лимонитовый. Окатанность зерен средняя. В тяжелой фракции песков и песчаников содержание эпидота достигает 58%, ильменита - 31%, дистена - 38% и роговой обманки - до 28%. Максимальная видимая мощность отложений укугутской свиты 136 м.

Из алевролитов нижней пачки был выделен спорово-пыльцевой спектр, который характеризуется преобладанием пыльцевых зерен над спорами. По определению А.Ф.Фрадкиной, для спектра характерно: 1) малая встречаемость спор рода *Coneopteris* - 1,0%; 2) низкое содержание спор семейства *Osmundaceae* - 2,5%; 3) большое количество зерен с уплотнением в центральной части зерна: *Sheiropleuria compasta* Bolkh. - 0,5%, *Leiotriletes bivargiensis* Bolkh. - 9,5%, споры с "ареа" - 0,5%, всего 10,5%; 4) присутствие спор *Chomotriletes triangularis* Bolkh. - 0,5%, *Lophotriletes* sp. крупнобугорчатых - 1,5%; 5) значительное содержание пыльцы беннеттиевых - *Bennettites* sp. - 4,5%, пыльцы гинкговых - 24%; *Ginkgo mutabilis* (Naum.) Bolkh. - 6,5%, *G.parva* (Naum.) Bolkh. - 6,0%, *G.typica* (Mal.) Bolkh. - 0,5%, *G.sp.* - 11%.

Приведенный спорово-пыльцевой спектр характерен для среднелейасовых отложений.

КАЙНОЗОЙ

ЧЕТВЕРТИЧНАЯ СИСТЕМА

Отложения четвертичной системы распространены на территории листа повсеместно и представлены различными как по генезису, так и по возрасту образованиями. Выделяются следующие генетические типы: аллювиальные, элювиальные и делювиальные.

Стратиграфическое расчленение аллювиальных отложений произведено по геоморфологическому соотношению террасовых комплексов с учетом минерального состава отложений и сопоставления с соседними территориями.

Кроме того, в составе образований четвертичной системы выделяются неразделенные четвертичные отложения (элювиальные, делювиальные и др.).

Нижнечетвертичные (?) аллювиальные отложения (Q_1 ?)

Отложения этого возраста приурочены к древней долинной гидросети. Одна из таких долин пересекает территорию листа с юго-запада на северо-восток. В восточной части описываемой площади она совпадает с современной долиной р. Титик-Юрях, затем пересекает водораздел рек Джербы и Утакана, р. Нуи и в юго-западном углу площади листа уходит за ее пределы. Описываемые отложения в пределах древней долины распространены неповсеместно и представлены песками мелко- и среднезернистыми с хорошо окатанными зернами, серыми и желтовато-серыми, кварц-полевошпатовыми. Ассоциация минералов тяжелой фракции амфибол-ильменит-магнетитовая.

Возраст описываемых отложений условно датируется как нижне-четвертичный на том основании, что древняя долина, выполненная этими песками, пересекается современной долиной р. Нуи, а возраст наиболее древней IV террасы р. Нуи определяется как среднечетвертичный^{X/}.

Мощность описываемых отложений достигает 90-100 м.

X/ Из образцов, отобранных из четвертичных отложений, спорово-пыльцевых комплексов получено не было.

Среднечетвертичные отложения (Q_{II})

К среднечетвертичным отложениям отнесен аллювий III террасы рек Нуи и Джербы высотой 30–40 м и IV террасы р. Нуи высотой 50–60 м.

Цоколь IV надпойменной террасы р. Нуи сложен карбонатными породами нижнего ордовика. Высота цоколя над урезом воды достигает 45–50 м. Сверху цоколь перекрыт 5–10-метровым чехлом рыхлых образований, представленных суглинками и песками желтовато- и зеленовато-серыми, тонко-среднезернистыми, кварц-полевошпатовыми, с примесью чешуек слюды.

Пески разнозернистые, содержат включения мелкой, хорошо окатанной гальки кварца и кремня.

Аллювиальный чехол III надпойменной террасы рек Нуи и Джербы сложен кварц-полевошпатовыми песками с включениями валунно-галечниково-суглинистого материала. Размер галек от 1 до 10 см, валунов – от 10 до 15 см. Гальки представлены кварцем, метаморфическими, изверженными и местными карбонатными породами. Террасы цокольные, мощность аллювия достигает 15–20 м.

Возраст отложений определяется на основании сопоставления III и IV террас рек Нуи и Джербы с аналогичными террасами р. Лены.

В аллювии IV террасы р. Лены у г. Олекминска найдены костные остатки *Rhinoceras cf. antiquitatus* Blum. (Коржуев, 1959). В аллювии III террасы обнаружены кости *Bison priscus aff. longicornis* Grom и скелеты мамонта раннего типа (Коржуев, 1959).

Верхнечетвертичные отложения (Q_{III})

К этим отложениям относятся аллювиальные пески I и II террас рек Нуи и Джербы высотой 10–12 и 20–25 м.

I и II террасы в пределах тектонических поднятий обычно цокольные, в пределах синклинальных структур цоколь отсутствует. Аллювий террас сложен желтовато-серыми кварц-полевошпатовыми песками, часто глинистыми, в которых содержится галька кварца, кварцитов, метаморфических пород, т.е. материал, обычно присутствующий в укугутской свите. Кроме того, наблюдаются обломки карбонатных пород палеозоя.

Ассоциация минералов тяжелой фракции отложений II надпойменной террасы ильменит-роговообманковая магнетитовая; I террасы –

ильменит-гранатовая. Мощность отложений II террасы до 25 м, I террасы – 7–12 м. Возраст описываемых отложений определяется на основании сопоставления с идентичными образованиями, развитыми на смежных территориях в среднем течении р. Лены, в которых С.С. Коржуевым найдены остатки *Elephas primigenius* (С.С. Коржуев, 1959).

Современные отложения (Q_{IV})

Эти отложения слагают высокую и низкую поймы рек Нуи, Джербы и их наиболее крупных притоков. Высота низкой поймы достигает 2–3 м, высокой – 4–6 м. Высокая пойма сложена песками мелкозернистыми, кварц-полевошпатовыми, слюдистыми и галечниками, перекрытыми в пониженных участках суглинками и илистыми наносами. Мощность отложений 4–6 м.

Низкая пойма сложена галечниками, песками и суглинками. Мощность 1–3 м. Гальки кристаллических и метаморфических пород составляют 50%, кварца 35%, местных пород 5%. Окатаанность галек средняя. Русловые отложения рек Джербы, Нуи и их притоков также сложены песками, супесями, суглинками, гравийно-галечными и илистыми образованиями, в общем аналогичными описанным выше. Вследствие незначительного площадного распространения, отложения современного отдела на карте показаны неповсеместно.

Нерасчлененные четвертичные отложения

Описываемые отложения представлены элювиальными, делювиальными и прочими образованиями, имеющими повсеместное распространение. Формирование этих отложений происходило в течение длительного срока, охватывающего значительную часть четвертичного периода.

Элювиальные отложения слагают плоские участки водоразделов и их выпуклые склоны. Их состав целиком зависит от литологии подстилающих пород. На карбонатных породах нижнего палеозоя элювий представлен суглинками и супесями светло-желтого, желтовато-бурого и красноватого цвета со щебенкой и обломками доломитов и известняков, высыпками известняков и доломитовой мукой.

На отложениях укугутской свиты элювий представлен песками и суглинками с галькой. Мощность элювия 0,2–3,0 м.

Делювиальные отложения распространены на склонах речных долин. Их состав также подчинен литологическому составу подстилаю-

ших коренных пород.

Делювиальные отложения, по сравнению с элювиальными, характеризуются лучшей отсортированностью материала. Мощность делювиальных отложений составляет 2-3 м в верхних частях склонов и 10 м у подножия склонов.

ИНТРУЗИВНЫЕ ОБРАЗОВАНИЯ

СРЕДНЕПАЛЕОЗОЙСКИЕ ИНТРУЗИИ

Жаровский комплекс ($\vee \beta Pz_2 g^4$)

Развитые в пределах исследованной площади интрузивные образования представлены породами основного состава - долеритами и интрузивными брекчиями долеритов и трахидолеритов.

Долериты слагают дайку почти меридионального простирания, закартированную на левобережье р.Джербы, в низовьях ее левых притоков - рек Эргеджей, Куранах-Юрях, Урсалах. Протяженность дайки около 30 км, мощность 30-50 м. Она прорывает отложения среднего-верхнего ордовика. Последние на контакте с дайкой изменены, ороговикованы, осветлены и местами приобретают пятнистую окраску. Среди слагающих дайку долеритов выделяются микроофитовые долериты и долерит-монцониты.

Микроофитовые долериты состоят из плагиоклаза (№ 45-50), образующего густую сетку призматических кристаллов и моноклинного пироксена, слагающего более мелкие по размеру идиоморфные или субдиоморфные кристаллы. Встречаются также псевдоморфозы талька по оливину, или илдингита по оливину. Иногда отмечаются "звездчатые" срастания плагиоклаза и пироксена. В интерстициях между этими минералами наблюдаются скопления мелких чешуек хлорита, биотита, амфиболя, образующих своего рода агрегат. Присутствуют неправильные выделения ильменита и многочисленные пластинки его.

Долерит-монцониты представляют собой породы с офитовой и габбро-офильтовой структурой. Они состоят из плагиоклаза (андезин), моноклинного пироксена, щелочного полевого шпата (до 15%), рудных и большого количества вторичных минералов. Плагиоклаз интенсивно изменен: альбитизирован, хлоритизирован, сассюритизирован. Моноклинный пироксен слабо зеленоватый, диопсидовый, частично разъедается минералами мезостазиса. Последний сложен щелочным полевым шпатом, хлоритом, присутствуют также кварц, цеолиты, кальцит, биотит, амфибол, сфеен, ильменит, магнетит. Отмечаются

псевдоморфозы серпентина и магнетита по оливину (?).

Интузивные брекчи (туффизиты), впервые обнаруженные и описанные В.А.Масайтисом, М.В.Михайловым и А.И.Ушаковым, залегают в виде пластовых тел. На р.Джербе туффизиты наблюдались в 7 км (левый берег) ниже устья р.Эргеджей, затем в 12 и 14 км (правый берег) ниже устья того же притока. В указанных пунктах туффизиты залегают вдоль контакта отложений нижнего и среднего-верхнего ордовика. Часто туффизиты образуют многоярусные тела, как бы разделенные горизонтами осадочных пород. Так, в 14 км ниже устья р.Эргеджей, на правом берегу р.Джербы, над урезом воды обнажается пачка известняков нижнего ордовика, содержащая 20-метровое пластовое тело туффизитов с горизонтальным нижним и верхним контактами. В 3-4 км над поверхностью кровли в известняках наблюдается еще один силл туффизита мощностью 8 м, в кровле которого выступают зеленоватые хлоритизированные алевролиты среднего-верхнего ордовика.

На правом берегу р.Джербы, в 12 км ниже устья р.Эргеджей, также наблюдаются два маломощных пластовых тела интрузивных брекчий, причем одно из них мощностью около 0,5 м внедрилось вдоль плоскости наслаждения известковистого песчаника, несколько срезая ее. Это тело прослеживается на 5-6 м по простиранию и выклинивается внутри пласта этих песчаников.

На правобережье р.Юи, в 5 км выше устья р.Эсэ-Суолах, в отложениях меличанской свиты закартировано три тела туффизитов. Ниже пластообразное тело залегает в 25-30 м от подошвы свиты. Пласти туффизитов разделены 20-30-метровыми горизонтами осадочных пород. По простиранию тела туффизитов прослеживаются непрерывно на 7-8 км.

Туффизиты представляют собой коричневато-серые и зеленовато-серые породы брекчевой текстуры и состоят из обломков изверженных и вмещающих осадочных пород, сцепленных мелкообломочным туфовым материалом с участием гидрохимического цемента.

Обломки гиалотрахибазальтов и гиалобазальтов часто обладают директивными текстурами, обусловленными ориентировкой округлых, вытянутых в одном направлении пор, что свидетельствует о течении этого вязкого материала. Некоторые обломки базальтов и трахибазальтов содержат как бы приваренные к ним куски осадочной породы. Величина обломков как осадочных, так и изверженных пород достигает 15 см.

Признаки течения материала туффизитов отчетливо видны на пришлифованной поверхности отдельных штуфов брекчий. Они выражаются в ориентировке отдельных обломков, их скрученной форме,

обусловленной, по-видимому, движением всей системы.

Под микроскопом видно, что описываемые породы представляют собой брекчию, состоящие из обломков и цементирующей их массы. Обломки имеют размер 1-2 мм и менее, они остроугольны, с четкими контурами, иногда изогнуты. Контуры обломков подчас срезают вкрапленники плагиоклаза, заключенные внутри них. Обломки представлены в основном гиалобазальтом и гиалотрахибазальтом, весьма однородными по составу и структуре. Сравнительно редкие вкрапленники представлены тонкими лейсточками плагиоклаза и еще более редкими кристаллами цветного минерала, нацело замещенными вторичными продуктами. Плагиоклаз интенсивно альбитизирован, цеолитизирован, карбонатизирован. Идиоморфные, почти изометричные вкрапленники цветного минерала замещены хлоритом. Основная масса гиалотрахибазальтов и гиалобазальтов составляет до 95% этих пород и представлена бурым, почти непросвечивающим стеклом. В этом стекле имеются многочисленные мелкие пустотки и миндалинки, заполненные хлоритом, цеолитами, карбонатом. Цемент брекчий базальный, иногда крустикационной текстуры, обусловленный нарастанием на отдельные обломки мелких кристаллов бесцветного пироксена.

Цемент в основном представлен цеолитами, анальцином, в его сложении участвуют также хлорит и карбонат.

Наряду с гиалотрахибазальтами и гиалобазальтами встречаются обломки гиалотрахиандезитов. Последние отличаются особенностями стекловатой основной массы и более кислым характером вкрапленников плагиоклаза, альбитизированных и карбонатизированных. Основная стекловатая масса породы имеет такситовую или микротакситовую текстуру, обусловленную неравномерным распределением в ней скоплений мелких кристаллов и рудной сили. Стекло слабо двупреломляет и имеет показатель преломления ниже канадского бальзама. Оно усеяно мельчайшими неправильными выделениями непрозрачного рудного минерала и спноповидными агрегатами их, как будто возникающими в результате собирательной перекристаллизации. В породе много кальцита, хлорита, серпентина, имеются отдельные крупные зерна рудных минералов.

Описанные породы, как это отчетливо видно на карте, распространены вблизи разломов. По одному из них установлена дайка. Указанные разломы, по-видимому, служат подводящими каналами для интрузий туффизитов. Последние представляют собой весьма интересные экструзивные(?) образования, связанные с эруптивной деятельностью вдоль разломов и трещин. Обычно туффизиты выполняют вулканические жерловины. Как показывает приведенный материал, подобные породы могут образовывать интрузивные пластовые тела в

непосредственной близости от разломов и даек. Вдоль этих разломов, вероятно, происходили излияния среднепалеозойских базальтов и трахибазальтов, которые впоследствии были уничтожены эрозией.

Возраст интрузивных пород устанавливается на основании со-
поставления их с отложениями соседних районов.

Работами геологов ЯГУ и ВСЕГЕИ в пределах Западно-Вилюйской поперечной краевой системы установлены проявления мощного среднепалеозойского траппового магматизма (Филатов, Михайлов, 1964; Масайтис, 1965; Масайтис, Михайлов, 1966 и др.). Эта среднепалеозойская трапповая формация (Масайтис, 1965) включает в себя как интрузивные, так и эфузивные разности пород, широко распространенных в Ыгыттинской, Берёзовско-Кемпендейской и Нуйско-Джербинской впадинах. Покровы девонских базальтов и трахибазальтов, установленные в пределах Берёзовско-Кемпендейской впадины, по составу совершенно аналогичны гиалобазальтам и гиалотрахибазальтам, наблюдаемым в виде обломков в интрузивных брекчиях на территории листа Р-50-ХХУП.

В отличие от пермо-триасовых траппов Тунгусской синеклизы эти породы (среднепалеозойские) имеют повышенное содержание фосфора, щелочей и титана (табл. I).

Интрузивные образования, развитые в пределах листа Р-50-ХХУП, имеют сходный химический состав с породами среднепалеозойской трапповой формации.

Сказанное, с учетом структурного положения района, позволяет датировать возраст интрузий, развитых в пределах листа Р-50-ХХУП как среднепалеозойский (Жаровский комплекс - Pz_2^{gr}).

ТЕКТОНИКА

Изученная территория располагается на Сибирской платформе, в северо-восточной части Нуйско-Джербинской впадины. Последняя является структурой, входящей в Западно-Вилюйскую поперечную краевую систему.

Западно-Вилюйская поперечная краевая система была выделена Н.М. Чумаковым (1959), который включал в нее Уринский антиклини-
рий, Кемпендейскую впадину и Сунтарский горст. Позднее к структурам поперечной системы М.В. Михайловым и В.Ф. Филатовым были отнесены, помимо перечисленных выше структур, Ыгыттинская и Берё-
зовская впадины (Филатов, Михайлов, 1964; Михайлов, Филатов, 1965). Западно-Вилюйская поперечная краевая система располагает-
ся между Байкало-Патомской складчатой областью и Сибирской плат-

Таблица I

Химический состав изверженных пород,
и других

№/п	Номер пробы	Содержание					
		SiO ₂	TiO ₂	Al ₂ O ₃	Fe ₂ O ₃	FeO	MnO
I	35	47,66	4,26	12,48	8,15	6,32	0,29
2	228	46,02	3,28	10,06	6,15	7,04	0,21
3	383	46,44	2,35	14,22	9,58	1,97	0,16
4	384/a	44,82	1,96	12,79	8,01	2,52	0,11
5	384	46,71	1,25	10,25	7,75	2,48	0,09
6	I525	44,45	1,59	11,28	5,77	4,74	0,32
7	4/IФ	47,03	2,44	12,77	8,47	5,66	0,23
8		46,92	2,86	14,38	10,93	4,63	0,10
9		47,90	2,12	16,62	6,90	5,85	0,21
10		47,63	2,64	14,69	4,47	9,32	0,14
II		46,57	1,48	14,81	4,32	8,91	0,23

x/ В пересчете на 100% без воды.

I - долерит из центральной части дайки мощностью 50 м, р.Урсалах; 2 - долерит-монцонит из центральной части дайки мощностью 50 м, р.Джерба; 3 - обломок гиалобазальта из силла интрузивной брекции мощностью 3 м, р.Нюя; 4 - обломок гиалотрахиобазальта из пластовой залежи туфобрекции мощностью 3 м; 5 - туффизит из пластовой залежи брекции, р.Нюя; 6 - туффизит из пластовой залежи брекции, р.Джерба; 7-8 - гиалобазальты из покрова, р.Бур-Сала, Березовская впадина; 9 - среднее из 14 анализов базальтов западного крыла Ыгыттинской впадины (по В.Л.Масайтису, 1962); 10 - среднее из 8 анализов долеритов интрузий Вилюйско-Мархинской зоны разломов (по В.Л.Масайтису, 1962); II - среднее из 167 анализов долеритов верхнепалеозойского-нижнемезозойского возраста из Тунгусской синеклизы (по В.Л.Масайтису, 1962)

развитых на территории листа Р-50-ХХУП
районов

компонентов, %								Сумма
CaO	MgO	Na ₂ O	K ₂ O	P ₂ O ₅	H ₂ O	П.п.п.		
9,33	4,55	2,88	1,22	0,58	1,38	0,84	99,89	
10,57	7,84	2,92	2,30	0,59	0,75	1,96	99,69	
3,53	9,18	3,27	0,92	0,27	3,92	4,05	99,86	
5,94	9,46	3,05	2,32	0,24	4,09	5,07	100,38	
7,74	9,50	2,30	1,97	0,24	2,43	8,04	100,75	
13,45	8,40	2,71	1,37	0,23	2,00	4,39	100,71	
II,04	6,02	2,03	0,55	0,81	1,85	0,99	99,98	
6,03	4,11	3,24	2,42	0,29	2,38	1,39	99,68	
10,61	6,43	1,60	1,37	0,34	-	-	100,00 ^{x/}	
8,92	5,22	2,96	1,87	0,25	0,24	1,91	100,26	
9,86	6,21	1,88	0,81	0,38	1,27	2,55	99,28	

формой. Это находит отражение в наборе формаций, мощностях и характере тектонического строения этой структуры.

Нийско-Джербинская впадина расположена в нижнем течении р.Ния, на юго-западе она граничит с Мурбайским поднятием, на юге и юго-востоке с окраинными складками Байкало-Патомской складчатой области и Уринским окраинным складчатым поднятием. Северо-восточная часть Нийско-Джербинской впадины перекрыта мезозойскими отложениями, выполняющими заливообразную депрессию - Эргеджейский полупрогиб, накладывающейся на Уринское поднятие (Филатов, Михайлов, 1964г). В пределах Нийско-Джербинской впадины выделяются Витимо-Джербинская и Нийская синклинали, разделенные Мухтуйским поднятием и расположенными к северо-востоку Салдыкельским и Верхнеджербинским поднятиями.

На изученной площади (рис. I) расположены северо-восточные части Нийской (А) и Витимо-Джербинской (Б) синклиналей, северо-восточная часть Салдыкельского поднятия (В), Верхнеджербинское поднятие (Г), соединяющая их Утаканская седловина (Д) и осложняющее юго-восточный борт Витимо-Джербинской синклинали Нижнеджербинское поднятие (Е).

Территория листа, за исключением ее юго-западной четверти, покрыта гравиметрической съемкой масштаба 1:200 000.

Северная половина площади характеризуется слабо отрицательным гравитационным полем со значениями 30-60 мгл, у западной границы простирание изоаномал северо-западное, градиент составляет 0,6-0,7 мгл/км.

Юго-восточная часть территории листа принадлежит к зоне больших градиентов, окаймляющих Уринский гравитационный максимум с запада. Простирание изоаномал здесь северо-восточное. Значения изменяются от -30 мгл на восточной границе площади листа до -60 мгл в центральной.

Район характеризуется слабо дифференцированным магнитным полем с небольшими по интенсивности аномалиями, имеющими в общем субмеридиональное простирание, обусловленными неоднородностью строения фундамента. Кроме того, в северо-восточной и восточной частях района, по лево- и правобережью р.Джербы имеется несколько узких линейно вытянутых аномалий меридионального простирания, отвечающих дайкам, как выходящим на дневную поверхность, так и погребенным, а также аномалии жерлового типа.

В бассейне р.Утакан и на крайней юго-восточной части площади работ располагаются незначительные отрицательные магнитные аномалии меридионального простирания.

На территории, примыкающей к долине р.Джерба, располагается

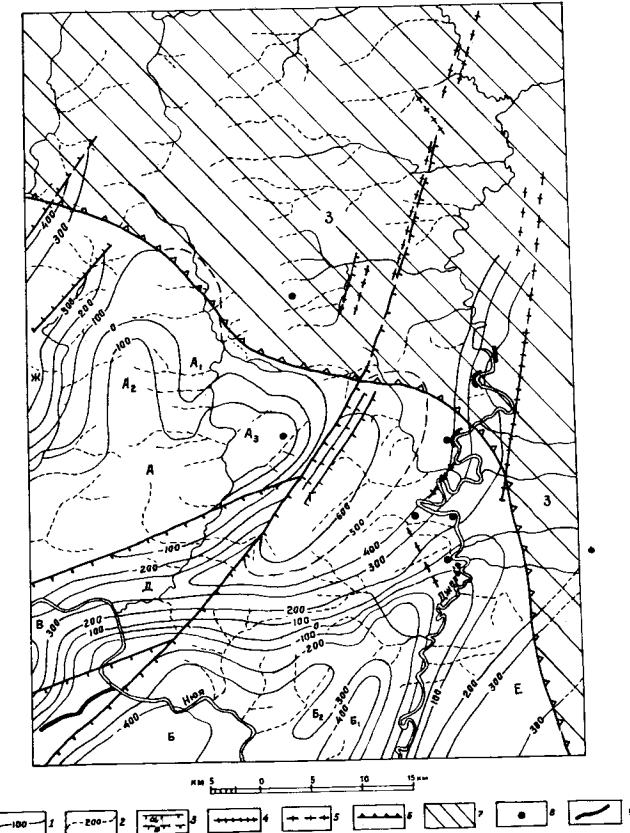


Рис. I. Тектоническая схема (составил Михайлов М.В.)

1 - стратоизогипсы по подошве отложений среднего-верхнего ордовика; 2 - стратоизогипсы по подошве отложений среднего-верхнего ордовика предполагаемые; 3 - а) разломы, б) разломы, погребенные под покровом юрских отложений; 4 - дайки долеритов; 5 - дайки долеритов, не выходящие на дневную поверхность и выявленные аэромагнитной съемкой; 6 - граница Эргеджейского полупрогиба; 7 - Эргеджейский полупрогиб; 8 - магнитные аномалии жерлового типа; 9 - интрузивные брекчии долеритов и трахибазальтов. На схеме буквами обозначены: А-А₃ - Нийская синклиналь, Б-Б₂ - Витимо-Джербинская синклиналь, В - Салдыкельское поднятие, Г - Верхнеджербинское поднятие, Д - Утаканская седловина, Е - Нижнеджербинское поднятие, Ж - Дабанская антиклиналь, З - Эргеджейский полупрогиб

слабая положительная магнитная аномалия меридионального простирания. Интенсивность аномалии возрастает к северу (рис.2).

У западной границы района работ вдоль р.Яшина протягивается слабо положительная аномалия, затухающая в верховьях р.Яшина.

По данным геофизических работ, глубина залегания кристаллического фундамента в пределах площади работ оценивается 2,5-3 км.

Н юй с к а я с и н к л и н а л ь (A) представляет собой крупную отрицательную структуру северо-восточного простирания. Длина структуры составляет около 130 км, ширина 50-60 км. В синклинали сохранились от размыва отложения верхнего кембрия - нижнего силура. Строение структуры асимметричное.

В пределах площади листа расположено северо-восточное ее окончание. Залегание пород в ее пределах субгоризонтальное, и только на юго-восточном крыле углы падения пород достигают 10-15°. Здесь же на левом берегу р.Юи закартирован сброс, по которому приведены в контакт отложения среднего-верхнего ордовика и меличанская свита силура с породами утаканской свиты силура.

Амплитуда смещения слоев достигает 200 м.

К северо-западу от описанного разлома в отложениях силура наблюдается ряд пологих синклиналей и структурных носов. На междуречье Яшиной и Утакана наблюдается пологий структурный нос (A_1) северо-восточного простирания, разделяющий северо-восточное окончание Нуйской синклинали на две подсинклинали (A_2 и A_3). К северо-западу от западной полусинклинали (A_1) расположено северо-восточное окончание Дабанской антиклинали (II). Амплитуда ее в пределах района составляет около 400 м. Дабанская антиклиналь, основная часть которой расположена западнее площади листа Р-50-ХХУП, представляет собой линейно вытянутую структуру протяженностью 50 км и шириной 15 км. В ядре структуры за пределами района работ вскрываются отложения нижнего ордовика. На продолжении структуры расположено нарушение северо-восточного простирания. Амплитуда его около 150 м, приподнятым является юго-восточное крыло. К северо-западу от этого нарушения расположены сброс северо-восточного простирания, амплитуда которого у западной границы площади листа достигает 300 м. Северо-восточнее это нарушение перекрывается отложениями укугутской свиты.

С ал ды к е л ь ск о е п о д н и я т и е (B) заходит в пределы площади работ своей северо-восточной частью. Описываемая структура расположена северо-восточнее Мухтуйского поднятия. Присводовая часть складки сложена породами нижнего ордовика, крылья - отложениями среднего и верхнего ордовика и нижнего силура. Амплитуда 500 м.

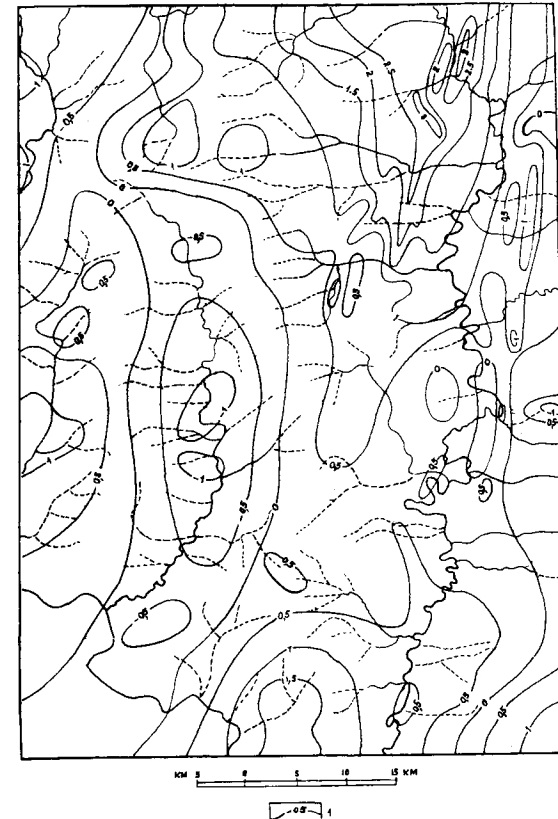


Рис.2. Схематическая карта изодинам

1 - изолинии Δ Та (в миллиэрстедах)

Верхнеджербинское поднятие (Г) северо-восточного простираия расположено на междуречье Нюи и Джербы. Ядро поднятия сложено породами нижнего ордовика, крылья - отложениями среднего-верхнего ордовика. Размеры поднятия: не менее 60 км по длиной и 16-18 км по короткой оси.

Верхнеджербинское поднятие асимметричное: на северо-западном крыле углы падения пород достигают $10-12^{\circ}$, юго-восточное крыло пологое ($3-5^{\circ}$), в поперечном разрезе структура коробчатая - с плоским широким сводом и несколько более крутыми крыльями.

Северо-западное крыло структуры осложнено Чайдахским разломом. Близ разлома, по которому в пределах северо-западного крыла структуры отложения нижнего и среднего-верхнего ордовика приведены в тектонический контакт, углы наклона пород достигают $10-15^{\circ}$.

Амплитуда Верхнеджербинской структуры по отношению к прилегающим Нюйской и Витимо-Джербинской синклиналии составляет 1 км.

К юго-западу Верхнеджербинское поднятие через Утаканскую седловину соединяется с Салдыкельским поднятием.

Утаканская седловина (Д) представляет собой седлообразную структуру, расположенную в нижнем течении р.Утакан, между Верхнеджербинской и Салдыкельской антиклинальными структурами и Нюйской и Витимо-Джербинской синклинальными структурами. В ядре седловины обнажаются породы нижнего ордовика, крылья сложены породами среднего-верхнего ордовика, протяженность структуры порядка 20 км при ширине 4-5 км. Падение пород на северо-западном крыле $6-8^{\circ}$, на юго-восточном $3-5^{\circ}$.

К юго-востоку от описанной линии поднятий в пределах площади работ располагается северо-восточная часть Витимо-Джербинской синклиналии. Последняя представляет собой крупную синклинальную структуру северо-восточного простираия. Размеры структуры по верхнему кембрию по длиной оси $100-120$ км, по короткой - 10 км.

В пределах площади работ расположена северо-восточная часть Витимо-Джербинской синклиналии. В ней от размыта сохранились отложения среднего-верхнего ордовика, силура и девона. В центральной части синклиналии отмечается почти горизонтальное залегание пород, к крыльям углы падения достигают $6-10^{\circ}$. Юго-восточное крыло синклиналии осложнено Нижнеджербинской антиклиналью.

Нижнеджербинская антиклиналь (Е) представляет собой линейно вытянутую структуру северо-восточного простираия. Сводовая часть структуры сложена отложениями нижнего, крылья - породами среднего-верхнего ордовика. Структура имеет крутое северо-запад-

ное крыло, где углы падения достигают $7-10^{\circ}$ и пологое юго-восточное ($4-5^{\circ}$). Протяженность структуры в пределах района 25 км, ширина по выходу пород нижнего ордовика 6-7 км. Северо-восточное окончание ее перекрыто чехлом юрских отложений.

На правобережье р.Джербы Джербинская синклиналь осложняется структурным носом (B_2) амплитудой 100 м, северо-восточного простираия.

Северо-восточная и восточная части района перекрыты отложениями укугутской свиты, залегающей с угловым несогласием на дислокированных и размытых породах палеозоя. Отложения укугутской свиты слагают западный борт мезозойского Эргеджейского полупротяжения (З). В пределах района работ породы мезозойского структурного яруса полого погружаются к востоку и северо-востоку, что отчетливо видно на геологической карте.

Кроме описанных выше на площади установлено несколько региональных разрывных нарушений. Наиболее крупным является Чайдахский разлом. Он прослеживается от юго-западного угла района в северо-восточном направлении. Разлом пересекает р.Ню в 4 км выше устья ручья Ээ-Суолах, затем прослеживается по левобережью р.Утакана, пересекает р.Чайдах (по которой получил наименование), в 4 км от устья и севернее фиксируется на аэрофотоснимках в поле мезозойских отложений. Его можно проследить по аэрофотоснимкам к северу от долины р.Чайдах до р.Кутаны (в 8 км от устья) и далее к северо-востоку на правобережье р.Джербы. Смещение по разлому отложений укугутской свиты в поле не установлено. На аэрофотоснимках разлом дешифрируется, по-видимому, вследствие наличия вдоль него таликов, что влияет на состав растительности. На глубине разлом, по-видимому, сопровождается дайками основных пород, поскольку к нарушению в северной его части приурочивается линейная положительная аномалия. Кроме того, в юго-западном углу района, на правобережье р.Ню, близ разлома установлено три тела интрузивных брекчий, о чем подробнее говорилось выше. В долине р.Чайдах и в верховьях правых притоков р.Сары по разломам установлены окварцованные и ожелезненные породы, содержащие золото (подробнее в главе "Полезные ископаемые").

Описываемое региональное нарушение характеризуется небольшой амплитудой: в юго-восточной части территории листа на правом берегу р.Ню по этому нарушению приведены в контакт отложения меличанской и утаканской свит. Здесь приподнятым является северо-западное крыло. Величина смещения составляет несколько десятков метров. Далее к северо-востоку в верховьях левых притоков

р.Сылэх в контакт приведены средние горизонты нижнего ордовика и среднего-верхнего ордовика, амплитуда смещения достигает здесь 70-100 м, приподнятым является юго-восточное крыло нарушения. В бассейне р.Чайдах смещение совсем незначительное.

Изменение знака перемещения крыльев вдоль разлома обусловлено наличием оперяющего разлома, пересекающего р.Нюю в районе пос.Буор-Джие. Блок пород, заключенный между Чайдахским и оперяющим разломами, испытал более значительные положительные вертикальные перемещения по сравнению с прилегающими участками.

Второе значительное по протяженности нарушение установлено на левобережье р.Джербы в нижних течениях ее притоков - рек Эргеджей, Урсалах и др. Установленная протяженность разлома не менее 30-35 км. Амплитуда смещения незначительна и составляет первые десятки метров. По разлому внедрилась дайка долеритов. Установлены также два разлома восток-северо-восточного простирания. Один из них пересекает р.Утакан в районе устья р.Сылэх, второй пересекает р.Нюю в районе урочища Буор-Джие. Первый из разломов (северный) описан выше. Второй (южный) разлом имеет переменную амплитуду. У западной границы он затухает. Наибольшую амплитуду (до 300 м) разлом имеет на левобережье р.Нюи, где в тектонический контакт приведены отложения нойской и утаканской свит.

Разломы, расположенные в северо-западной части территории листа, были охарактеризованы выше, при описании Нойской синклиналии.

ИСТОРИЯ ГЕОЛОГИЧЕСКОГО РАЗВИТИЯ

Для восстановления истории геологического развития описываемого района необходимо кратко рассмотреть историю развития Западно-Вилюйской поперечной краевой системы, одной из структур которой является Нойско-Джербинская впадина.

В архее и нижнем протерозое в пределах рассматриваемого региона существовали геосинклинальные условия.

Среднепротерозойскому этапу на большей части территории Западно-Вилюйской синклиналии соответствовало поднятие (Михайлов, Филатов, 1965).

В верхнем протерозое для большей части платформы начался принципиально новый этап - этап формирования осадочного чехла. В пределах северной части Байкало-Патомского нагорья устанавливаются миогеосинклинальные условия. Эта миогеосинклиналь имела форму залива, вдающегося в Сибирскую платформу. На месте современных Нойско-Джербинской и Березовской впадин и Уринского ок-

раинного складчатого поднятия тогда располагалась краевая часть платформы, втянутая в опускание соседней миогеосинклиналью, о чем свидетельствует непрерывное возрастание мощности верхнего протерозоя в сторону последней (Михайлов, Филатов, 1965).

В конце верхнего протерозоя на окраинах Патомской миогеосинклиналии произошел кратковременный перерыв в осадконакоплении и частичный размык накопившихся перед этим толщ. Об этом свидетельствует наличие стратиграфического несогласия в основании нижнекембрийских отложений. Этот перерыв имел место и на большей части платформы (Бархатов, 1960).

Нижнекембрийский этап развития в Патомской миогеосинклиналии знаменуется новым погружением. Фациальные изменения и распределение мощностей свидетельствуют о том, что и в нижнекембрийское время вдоль миогеосинклиналии формировалась зона краевых опусканий, в которую входили территории современных Нойско-Джербинской и Берёзовско-Кемпендейских впадин (южная часть) и Уринского поднятия. На остальной территории платформы продолжали формироваться карбонатные отложения платформенного чехла.

В конце нижнего кембра произошел новый подъем территории. Налегание среднекембрийских осадков (бассейн рек Олекма и Чара) - по мере продвижения с востока на запад - на все более низкие горизонты подстилающей их чарской свиты (глубина размыка не превышает нескольких метров) свидетельствует о смене прогибания Байкало-Патомской миогеосинклиналии слабым воздыманием ее относительно краевых частей платформы.

Отсутствие ранне-среднекембрийских осадков в Нойско-Джербинской и на внутреннем крыле Березовской впадин при наличии нормально морских осадков на большей части территории платформы свидетельствует о том, что прилегающие к Патомской области части плиты были приподняты относительно окружающей территории.

Принципиально не отличался от нижнекембрийского план тектонических движений и в конце среднего и в верхнем кембра. В районе Нойско-Джербинской впадины ось максимального прогибания располагалась юго-восточнее современной ее структуры. Мощности верхоленской и илгинской свит возрастают от 200 м на северо-западном крыле впадины до 400 м на юго-восточном (район устья р.Нюи). Значительная роль тонкозернистых терригенных осадков в разрезе верхнего кембра говорит о том, что во внутренних частях Байкальской геосинклиналии в это время, возможно, возникли источники сноса. Однако этот слабый подъем не сопровождался складкообразовательными движениями по крайней мере в краевых частях Патомской миогеосинклиналии и на территории современных Нойско-

Джербинской и Березовско-Кемпендейской впадин. За это говорит отсутствие следов выпадения верхних горизонтов чарской свиты в сводовых частях складок по сравнению с их крыльями. Указанная область воздымания захватила и юго-западную часть современной Вилюйской синеклизы. На фоне общего воздымания этой территории вокруг Патомской миогеосинклинали, по-видимому, возник неглубокий (первые сотни метров) прогиб, который сходен с краевым по структурному положению, но отличается от последнего незначительными величинами прогибания, отсутствием грубообломочного, плохо отсортированного материала в выполняющих его толщах и сходством последних, в формационном отношении, с одновозрастными отложениями, формирующимиися во внутренних частях платформы.

В ордовикско-нижнесилурском этапе территория современных Берёзовско-Кемпендейской и Нойско-Джербинской впадин вновь представляла собой опущенный край платформы. Это доказывается возрастанием мощностей по мере продвижения от платформенных крыльев в сторону Патомского нагорья. Как и в рифей - нижнекембрийское время эта зона испытывала наибольшее прогибание напротив вершины входящего угла, образуемого Патомской миогеосинклиналью (максимальные мощности ордовикских отложений, до 900 м, приурочены к району, прилегающему к Уринскому окраинному поднятию). Эта зона опусканий не распространялась на окружающие части платформы, где продолжал формироваться равномерный осадочный чехол и мощности отложений соответствующего возраста были значительно меньше.

В течение верхнего силура и, возможно, нижнего девона на рассматриваемой площади был перерыв в осадконакоплении. Воздымание и складкообразовательные процессы на территории современного Патомского нагорья привели к возникновению складок небольшой амплитуды в пределах Берёзовско-Кемпендейской и, возможно, Нойско-Джербинской впадин, о чем свидетельствует наличие углового несогласия в основании среднедевонских отложений в пределах Берёзовско-Кемпендейской впадины и регионального стратиграфического несогласия на юго-восточном борту Нойско-Джербинской впадины.

В середине девона в пределах современной структуры Западно-Вилюйской поперечной краевой системы возникла зона погружения северо-восточного профиля - Западно-Вилюйский краевой прогиб (Михайлов, Филатов, 1965). Территория современной Нойско-Джербинской впадины расположена в юго-западной части данной структуры.

Западно-Вилюйский прогиб на юго-западе примыкал к орогену, расположенному в пределах современной Байкальской горной облас-

ти, а по простиранию уходил на северо-восток в пределы платформы, в бассейн современного среднего течения р. Вилюя. Этот прогиб заполнялся красноцветными глинистыми и карбонатными осадками, поступившими с юга, с возвышенной пустынной суши, где располагалась орогенная область в начальной стадии своего развития. В пределах Западно-Вилюйского прогиба в девоне происходило внедрение даек, силлов и излияния базальтов.

К этому же времени, по-видимому, относится внедрение даек и пластовых залежей туфобрекций на территории листа Р-50-ХХУП.

Наиболее интенсивное прогибание Западно-Вилюйский прогиб испытывал на протяжении верхнего девона и раннего карбона.

В это время, в результате усилившихся поднятий в пределах орогенной области, прогиб заполнялся более грубообломочным материалом. По разломам, по-прежнему, продолжалось поступление базальтовой магмы.

Одновременно с прогибанием и выполнением прогиба молассой и иными толщами среднего палеозоя, по-видимому, происходило коробление осадочных пород и образование консидеметационных складок. Обычно синхронно со складчатостью в прилегающей орогенной области и накоплением моласс в краевых прогибах возникают складки переходного типа. Именно такая складчатость, продольная по отношению к краевым дугам Патомского нагорья, имеется в Нойско-Джербинской и Берёзовско-Кемпендейской впадинах. В пределах листа Р-50-ХХУП к этим структурам относятся Салдыкельская, Верхнеджербинская и Нижнеджербинская антиклинали, Утаканская седловина, а также Нойская и Витимо-Джербинская синклинали.

В конце нижнекаменоугольной эпохи, в связи со складчато-глыбовыми движениями в Байкало-Патомской области, прогибание рассматриваемой территории сменилось поднятием, при этом поперечный среднепалеозойский прогиб был разбит на блоки северо-восточного профиля, из которых одни, возможно, продолжали некоторое время унаследованное прогибание (Берёзовско-Кемпендейская и Ыгыттинская впадины), другие (Нойско-Джербинская впадина, Сунтарский горст и др.) начали интенсивно воздыматься, что привело к почти полному уничтожению накопившихся здесь ранее толщ. В это время и были уничтожены мощные толщи среднепалеозойских отложений в большей части территории Нойско-Джербинской впадины. Одновременно с этим начало интенсивное воздымание Уринское поперечное складчатое поднятие, которое возникло на оси среднепалеозойского поперечного краевого прогиба. Возникшее Уринское окраинное поднятие разделило собой Берёзовскую и Нойско-Джербинскую впадины, обеспечив тем самым их структурную самостоятельность.

На протяжении всего верхнего палеозоя территория Нийско-Джербинской впадины была втянута в поднятие Байкальской складчатой областью и вместе с ней являлась источником сноса для формирующейся северо-западнее Тунгусской синеклизы.

В начале мезозойской эры наступила стабилизация тектонических движений и на обширных равнинных пространствах территории Западно-Вилюйской поперечной краевой системы на породах палеозоя формировалась кора выветривания, реликты которой в настоящее время наблюдаются в основании иреляхской свиты рэт-лейаса.

В конце триаса - начале юры территория Нийско-Джербинской впадины втягивается в прогибание, начавшееся в связи с формированием Вилюйской синеклизы.

На протяжении юрского периода в пределах района работ проходило накопление континентальных и морских отложений; мощность их составила несколько сотен метров.

С конца юрского времени начинает формироваться современный рельеф, о чем подробнее рассказано в главе "Геоморфология".

ГЕОМОРФОЛОГИЯ

В геоморфологическом отношении в пределах территории листа Р-50-ХХУП выделяются структурно-денудационное плато и пластовая денудационная равнина. Граница между указанными подтипами рельефа в общем совпадает с границей распространения палеозойских и мезозойских отложений.

Структурно-денудационное плато

Структурно-денудационное плато в географическом отношении относится к Приленскому плато. Строение рельефа Приленского плато в значительной степени обусловлено тектоническим строением этой территории. Здесь широко развиты линейные складки, сложенные палеозойскими терригенно-карбонатными породами. Этим складкам зачастую соответствуют возвышенные участки на межуречьях (гряды, ували).

Ориентировка крупных водотоков (реки Лена, Нюя) обнаруживает непосредственную связь с простиранием основных структур.

Приленское плато формировалось на протяжении длительного периода континентального развития территории. В результате избирательной денудации здесь оказались отпрепарированными линейные структуры, что привело к образованию грядового рельефа. В

тех участках, где степень дислокаций палеозойских пород меньше, не всегда наблюдается прямое соотношение между рельефом и структурами. Здесь сформировались холмисто-увалистая и полого-увалистая поверхности, к таким районам относится территория листа Р-50-ХХУП. Существенную роль в образовании рельефа Приленского плато играет также различная устойчивость пород к выветриванию. Так, известняки и доломиты нижнего ордовика более устойчивы к выветриванию, чем глинисто-карбонатно-терригенные породы средне-го-верхнего ордовика и большей части разреза силура. На первых возникают обычно долины с крутыми склонами, вторым соответствуют более мягкие формы рельефа.

В пределах района структурно-денудационному плато соответствует полого-увалистая поверхность водоразделов. Водоразделы, как правило, плоские, их поверхности полого наклонены в сторону долин и затем резко переходят в борта долин. Долины в основном имеют V-образный поперечный профиль с крутыми бортами и узкими днищами. Исключение составляют долины, развитые на отложениях среднего-верхнего ордовика. Здесь они имеют ящикообразный поперечный профиль с достаточно хорошо развитой серией террас. В тектоническом отношении V-образные долины обычно развиты в пределах тектонических поднятий, а ящикообразные - в синклиналях. Особенно отчетливо сказанное иллюстрируется строением долины р.Джербы, о чем подробнее будет сказано при описании долин.

Высотные отметки водоразделов колеблются в пределах 495-400 м, постепенно понижаясь к северо-востоку. Относительные превышения составляют иногда до 300 м (р.Нюя), а большей частью 100-200 м (р.Джерба и др.).

Пластово-денудационная равнина

Пластово-денудационная равнина в географическом отношении относится к Центральноякутской низменности. Последняя представляет собой равнину с однообразным плоским рельефом. Окрайние области низменности приподняты относительно центральных ее частей и относятся к плато. К этому подтипу рельефа и принадлежит северо-восточная часть описанного района.

В тектоническом отношении Центральноякутская низменность соответствует крупным отрицательным структурам: Вилюйской синеклизе и Приверхоянскому краевому прогибу, которые выполнены легко размываемыми терригенными мезозойскими отложениями. Территория Центральноякутской низменности длительное время являлась областью погружения и аккумуляции. Подобная тектоническая обста-

новка и своеобразный литологический состав коренных пород способствовали условиям, при которых образовался сглаженный рельеф - плоские или полого-увалистые междуречья, расчлененные неглубоко врезанными реками. По окраинам низменности, испытавшим относительно большее новейшее поднятие, сформировались холмистые и холмисто-увалистые денудационные плато.

В пределах района пластово-денудационная равнина сформировалась на субгоризонтально залегающих отложениях укугутской свиты нижней юры. Водоразделы в пределах описываемого подтипа пластике, постепенно переходящие в долины. Долины, как правило, врезаны очень слабо, имеют широкое днище, постепенно переходящие в борта долины, которые, в свою очередь, незаметно сливаются с водоразделами. Несколько сильнее врезаны долины в окраинных частях пластовой равнины, где они, размывая отложения юры, врезались в породы нижнего палеозоя.

Высотные отметки водоразделов колеблются в пределах 370-300 м, относительные превышения составляют 50-70 м, за исключением окраинных частей плато, где они несколько больше.

Строение долин

Наиболее крупными реками района являются реки Нюя, Джерба, Эргеджей и Утакан.

Река Нюя пересекает юго-западную часть территории листа Р-50-ХХУП. Долина реки широкая (до 8 км), с плоским днищем и крутыми склонами, довольно резко переходящими в водоразделы. На этом участке долины выделяются низкая и высокая пойма и три террасы. Строение отдельных участков долины зависит от приуроченности к тому или иному тектоническому элементу. Так, у западной границы территории листа, там, где река пересекает Утаканскую седловину, долина ее узкая (до 2 км), I и II террасы практически отсутствуют. При переходе в Джербинскую синклиналь долина постепенно расширяется и достигает 8 км у южной границы описываемой площади. Здесь русло в пределах долин начинает слегка меандрировать.

Река Джерба пересекает площадь листа Р-50-ХХУП с севера на юг. Долина ее обсеквентна. Так, в верховых реки отметки водоразделов достигают 270-300 м, а на юге площади листа Р-50-ХХУП 350-400 м. Обсеквентность долины рек объясняется близостью от описываемого района долины р.Лены, которая является базисом эрозии для описываемого района.

В пределах долины р.Джербы по строению можно выделить три

участка:

I участок, северный, протягивающийся от северной границы территории листа до точки, расположенной примерно в 5 км выше устья р.Чайдах;

II участок, средний, протягивающийся от указанной выше точки до МТФ колхоза "Проектор";

III участок, южный, протягивающийся до южной границы района работ.

I участок расположен в пределах пластовой денудационной равнины. Здесь река имеет крутой левый склон долины и пологий правый. Долина врезана незначительно, река образует блуждающие меандры. На правом берегу развита высокая пойма шириной до 300 м. Пойма постепенно переходит в склон долины. Террасы выделить не удается.

II участок расположен в пределах структурного плато, где река пересекает Верхнеджербинскую антиклиналь и в основном размывает породы нижнего ордовика. Здесь река имеет V-образный профиль, с очень крутыми склонами, покрытыми глыбами пород нижнего ордова. Река образует врезанные меандры. В долине наблюдаются узкие полоски (40 м шириной) I террасы высокой поймы. Низкая пойма имеет ширину 10-20 м. Здесь у бровки склона долины зачастую наблюдаются рвы отседания склонов, шириной до 2 м и протяженностью до 20-30 м. В самой середине этого участка расположен расширенный участок долины, где наблюдаются пойма I и II террас.

Наконец, третий участок долины р.Джербы, как и второй, находится в пределах структурного плато. Здесь долина заложена на северо-западном крыле Джербинской синклинали и размывает неустойчивые породы среднего-верхнего ордова.

В поперечном сечении долина имеет V-образный поперечный профиль. Правый склон крутой ($15-30^{\circ}$), левый пологий ($3-4^{\circ}$). Река образует блуждающие меандры. Здесь широко развиты пойма I и II террас. III терраса наблюдалась в одном месте, близ южной рамки.

Из притоков р.Джербы следует отметить долину р.Эргеджей. Строение долины последней аналогично строению III участка р.Джербы. В приустьевой части, где р.Эргеджей размывает отложения нижнего ордова и входит в пределы структурного плато, она приобретает все черты, характерные для II участка долины р.Джербы.

Долины более мелких притоков подразделяются на две группы:

I) долины, расположенные в пределах структурного плато. Они, как правило, с крутыми склонами, с V-образным поперечным профилем, сильно врезаны (Сарын, Чайдах и др.);

2) долины, расположенные в пределах пластовой денудационной равнины. Долины слабо врезаны, склоны долин пологие, постепенно переходящие в водоразделы, днища заболочены (р.Кутаны и др.).

Одним из наиболее интересных образований района в геоморфологическом отношении является древняя долина. Древняя долина в пределах описываемого района расположена субширотно и пересекает р.Джербу выше устья р.Кюль-Эргелях.

Древняя долина имеет крутые склоны (от 30° до обрывистых), относительно водоразделов она врезана на 100-120 м, ширина ее достигает 3-4 км. В месте пересечения с древней долиной р.Джерба имеет широкие I и II террасы. Некогда описываемая долина до самой бровки была выполнена песками. В настоящее время происходит препарирование долины современными слабыми водотоками. Отчетливо видно, что ширина долины и мощность аллювия (до 90-100 м) не соответствуют современным незначительным водотокам. Древние пески выстилают долину, поднимаясь до бровки склонов. В пределах долины пески образуют своеобразные холмики, вытянутые гряды и западины, в целом напоминающие дюны. Следует отметить, что для района низовьев рек Нюи и Джербы описанная долина не является единственной. Здесь можно восстановить целую разветвленную древнюю гидросеть, к которой, по-видимому, относятся отдельные пятна нижнечетвертичных отложений, наблюдавшиеся на территории листа Р-50-ХХУП.

Единым для речной сети структурно-денудационного плато и пластово-денудационной равнины является террасовый комплекс, представленный отложениями поймы и комплексом низких и средних террас, хорошо сопоставляемых с террасами долины Лены.

Поима. Низкая и высокая поймы широко развиты на реках Нюе, Джербе, Эргеджей, а также по мелким притокам, низкая пойма сложена песчано-галечными отложениями русской фации. Низкая пойма достигает высоты 2-3 м. Ширина ее колеблется в пределах нескольких десятков метров.

Высокая пойма рек Джербы и Эргеджей достигает высоты 4-6 м. Сложена она песчано-глинистым материалом, нередко торфяными наложениями. Пойма нередко имеет крутой уступ, четко выраженную бровку. На ее поверхности развит типично пойменный рельеф: старичные озера, прирусловые валы и т.д.

Надпойменные террасы. I надпойменная терраса распространена почти по всем водотокам. Терраса аккумулятивная, в тех местах, где р.Джерба пересекает поднятие, она местами цокольная. У рек Нюи, Джербы и Эргеджей высота I террасы составляет 8-12 м. У более мелких водотоков несколько меньше. Ввиду не-

значительной ширины этой террасы у мелких водотоков на карте она показана только у рек Нюя, Джерба, Эргеджей и Утакан. Ширина террасы колеблется в пределах 0,1-1,5 км. Уступ обычно крутой, бровка выражена нечетко, на террасе произрастает сосновый и лиственничный лес.

II надпойменная терраса в пределах района установлена у рек Нюи, Джербы, Эргеджая и Утакана. Терраса аккумулятивная, местами цокольная, высота цоколя достигает 5-7 м. Высота террасы 20-25 м, ширина достигает 1 км. Уступ, как правило, крутой, бровка слегка сглажена. На выровненной поверхности террасы чаще произрастает сосновый лес, поверхность ровная. Аллювий II террасы сложен желтовато-серыми песками с галечным материалом.

III надпойменная терраса установлена у рек Нюи и Джербы. Наблюдалась она в пределах III участка долины реки. Высота террасы 35-40 м, уступ крутой, бровка выражена четко, ширина до 3 км (у р.Нюи). Поверхность поросла сосновым лесом. Сложена терраса кварц-полевошпатовыми песками с включением валунно-галечникового материала.

IV надпойменная терраса установлена у р.Нюи. Наблюдается на отдельных участках. Высота 50-60 м, уступ террасы пологий, бровка выражена нечетко, ширина до 4 км. Поверхность поросла сосновым лесом. Терраса цокольная, аллювий представлен песками и суглинками.

С мелового периода описываемая территория служила источником сноса. В палеогене, с начала палеоцене, здесь сформировалась выровненная поверхность, незначительно возвышающаяся над уровнем моря.

В конце неогена усиливающиеся восходящие движения привели к оживлению эрозии. К началу четвертичного времени в пределах региона была сформирована развитая гидросеть с широкими долинами и многочисленными притоками. Остатки этой гидросети наблюдаются в настоящее время в виде долинообразных понижений, выполненных песками. В нижнечетвертичное время территория испытывает нисходящие движения. В этот период глубоко врезанные долины начинают выполнять песками. Район в это время представлял собой, скорее всего, аккумулятивную равнину.

В конце нижнечетвертичного, начале среднечетвертичного времени вновь начинают преобладать положительные пульсационные движения, которые формируют современную гидросеть с набором террас. Эти движения привели к созданию в пределах района структурно-денудационного плато и пластовой денудационной равнины.

ПОЛЕЗНЫЕ ИСКОПАЕМЫЕ

На территории листа Р-50-ХХУП установлены проявления коренного и россыпного золота. Из строительных материалов имеется месторождение глин.

МЕТАЛЛИЧЕСКИЕ ИСКОПАЕМЫЕ

Благородные металлы

Золото

На территории листа Р-50-ХХУП установлены проявления золота - коренные и россыпные.

Коренные проявления золота приурочены к дайкам долеритов, пластовым залежам интрузивных брекчий, к окварцованным и ожелезненным породам, развитым вдоль разломов и к зоне выветривания пород, наблюдавшихся в основании иреляхской свиты.

Проявления золота, приуроченные к дайке долеритов северо-восточного простирания, закартированной на левобережье р.Джербы, установлены на левом склоне долины р.Эргеджей, в 5,5 км выше устья (№ 4), и на правом берегу левого притока р.Джербы - руч.Онгкучах, в 3,7 км выше устья (№ 9).

В единичной пробе, отобранный из центральной части дайки на р.Эргеджей, содержание золота, по данным пробирного анализа, проведенного в лаборатории рудника "Лебединый", составляет 0,6 г/т.

В долине р.Онгкучах были отобраны пробы как из тела дайки мощностью 50 м, сложенной микрофитовыми долеритами, так и из отложений среднего-верхнего ордовика, вмещающих дайку. Алевролиты на контакте с долеритами претерпели изменения, выражавшиеся в ороговиковании и осветлении пород, а местами в приобретении ими пятнисто-полосчатой окраски. Алевролиты содержат золото, по данным пробирного анализа, от 0,2 до 1,4 г/т (обр.68I/2 - 1,4 г/т, взят в 0,5 м от контакта; обр.68I/3 - 0,6 г/т, взят в 10 см от контакта; обр.68I/5 - 0,1 г/т, взят в 0,5 м от контакта; обр.68I/7 - 1,2 г/т, взят в 0,5 м от контакта). В долеритах, слагающих дайку, содержание золота составляет 0,1-0,2 г/т (было отобрано 5 образцов с интервалом в 10 м вкрест простирания дайки).

В пластовых залежах интрузивных брекчий золото установлено

на правом берегу р.Джербы, в 7 и 8 км выше устья р.Курунг-Юрях (4-П, 4-Ш, пункты № 5 и 8) и на правом борту долины р.Нюи, у бровки склона долины в 0,3 км от высоты с abs.отм.401,0 м по аз.20° (1-ИУ, пункт № II). На р.Джербе в указанных пунктах пластовые залежи интрузивных брекчий залегают на контакте нижнего и среднего-верхнего ордовика. Мощность залежи брекчий от 2 до 20 м. Из двух проб, отобранных из центральной части тела интрузивной брекчии, одна содержит 0,8 г/т (№ 5), другая - 0,5 г/т золота (№ 8). Проба, взятая из ксенолита, залегающего в интрузивной брекчии и сложенного мелкозернистым окварцованым долеритом, содержит золота 2 г/т (№ 5). Проявления коренного золота вдоль разломов установлены на р.Чайдах, в 3,9 км выше устья (3-П, № 2) и в 4,7 км выше устья той же реки (3-П, № 1). В указанных пунктах на р.Чайдах на аэрофотоснимках дешифрируются разломы северо-восточного простирания. Вдоль разлома развиты известняки нижнего ордовика темно-серые, почти черные, крепкие, с неровным изломом, мелкокристаллические, участками известняки окваркованы. В этих породах (2 пробы) содержится 0,4 и 1,9 г/т золота. В пункте № 2 обнаруживаются известняки нижнего ордовика брекчевидные, крепкие, плитчатые, окваркованные. В этих породах в единичной пробе золото содержится в количестве 0,8 г/т.

Такого же характера проявление золота установлено вдоль разлома по безымянному ручью, левому притоку р.Сюлэх (№ 7) и северо-восточнее от этого пункта (№ 6).

Закопушкой глубиной 0,2 м в зоне разлома, дешифрирующегося на аэрофотоснимке, вскрыты породы нижнего ордовика, представленные обломками песчаников мелкозернистых, сильно ожелезненных, плитчатых, с беспорядочной текстурой, ржаво-темно-коричневого цвета. В указанных породах в единичной пробе содержание золота достигает 2,4 г/т (№ 7) и 0,6 г/т (№ 6).

Проявление коренного золота, приуроченное к зоне выветрелых пород в основании иреляхской свиты рэт-лейаса, установлено на левом берегу р.Джербы, в 0,8 км ниже по течению от устья р.Эттиах (№ 3). Здесь в основании зеленоватых глин с прожилками углистого вещества наблюдаются ожелезненные и окваркованные известняки ржаво-бурого цвета с включением кристаллов пирита. Мощность этих ожелезненных пород 0,7-0,9 м, протяженность выхода - 20 м. В двух образцах, отобранных из этих пород, содержание золота, по данным пробирного анализа, составляет 0,2-0,5 г/т.

Проявления золота в русловых отложениях. Работами Утаканской партии установлена золотоносность русловых отложений бассейна р.Джербы. Знаки золота

Таблица 2

Химический состав известняков

Место взятия образца	№ об- раз- ца	Содержание компонентов, %							
		H ₂ O	R ₂ O ₃	CaCO ₃	MgCO ₃	CaSO ₄	CaO	MgO	CaO MgO
р.Джерба, в 300 м ниже устья р.Эргеджей	24/8	3,56	0,90	93,60	2,64	Следы	52,42	1,26	41,63
Там же	66/2	7,82	1,10	89,10	2,42	"	49,90	1,15	43,39
"	66/13	5,26	0,90	91,80	2,42	"	51,42	1,15	44,70
Устье р.Чайдах	160а	18,85	2,50	44,55	33,44	-	24,95	15,92	1,56
Там же	160в	2,76	1,10	52,71	41,01	0,82	29,52	19,52	1,51

приурочены к аллювию рек, дренирующих отложения укугутской свиты. На этих участках (реки Эттих, Кутаны, Чайдах, Табага, Джерба) вместе со знаками золота встречаются пирит, реже арсенопирит. Измененные породы и интрузивные брекции, возможно, также служат дополнительными поставщиками россыпного золота.

Размеры отдельных знаков золота в среднем составляют 0,4x0,8x0,05 мм, встречаются знаки 0,5x1,0 мм. Количество знаков золота в отдельных шлихах достигает 40–60. Большая часть шлиховых проб содержит от 5 до 15–20 знаков золота. Золото пластинчатое, чечевицеобразное, реже округлое, желтое, с медистым оттенком. Очень мелкие пластинки золота, размером 0,01–0,05 мм, бледно-желтые, с ровной поверхностью, тогда как более крупные знаки желтые, с поверхности мелкобугорчатые.

СТРОИТЕЛЬНЫЕ МАТЕРИАЛЫ

На площади листа Р-50-ХХУП широко развиты карбонатные породы, пески, гравийно-галечная смесь и глины.

Карбонатные породы

Известняки

Обнажение известняков расположено на левом обрывистом склоне рек Нуи и Кюртэй. Известняки коричневато-серые, светло-серые, иногда желтоватые, редко с охмеленными разностями, разноплитчатые. Мощность 7 м, протяженность 100 м.

На участке долины р.Джерба от устья р.Онгкучах до устья р.Кюль-Эргелях и в нижнем течении рек Сарын и Эргеджей отмечаются скальные выходы известняков, доломитов, с прослойками алевролитов, песчанистых пород. Мощность прослоев известняков составляет от 1,5 до 8 м. Химический состав известняков приведен в табл.2.

Известняки песчанистые, доломитизированные. Частью они могут быть использованы для получения воздушной извести (обр.24/8; 66/13; 160/б – класс В согласно ГОСТ 5331-50). Разработка известняков для этих целей должна вестись выборочно, поэтому в настоящее время они вряд ли могут быть использованы в промышленности.

Глинистые породы

Месторождение глин открыто и разведано партией П.М.Охлопкова на правом склоне долины р.Урсалах, в 1,5 км выше от устья. Глины приурочены к границе между породами нижнего и среднего-верхнего ордовика и являются продуктами разрушения отложений среднего-верхнего ордовика.

Для установления мощности и оконтуривания залежи было задано шесть шурfov. Четырьмя выработками вскрыты глины мощностью в 0,7, 0,4, 0,5 и 1,2 м. Глины залегают с поверхности, красно-бурые, пластичные, жирные, без крупных включений. В двух образцах по 3 кг каждый замерены физические параметры с целью определения пригодности глин для приготовления глинистых растворов.

Результаты замеров сведены в табл.3.

Результаты замеров параметров показывают пригодность глин для приготовления из них глинистых растворов для бурения; добавление каустической соды повышает коллоидальность растворов.

По форме залегания месторождение глин представляет собой линзообразную залежь. Площадь блока, оконтуренного в пределах шурfov, вскрывших глину, равна 270 000 м². Запас глин по кат.С₁ при средней мощности пласта в 0,7 м составит 270 000 x 0,7 = 189 000 м³. Кроме того, предполагаемый неконтурный запас по кат.С₂ при площади 410 000 м² и средней мощности

0,46 м составит $410\ 000 \times 0,46 = 188\ 600 \text{ м}^3$.

Таблица 3

Характеристика глин

Показатели	Проба № 1		Проба № 2	
	Затворено на		Затворено на	
	чистой воде	воде с добавкой 0,5% N_2O_4	чистой воде	воде с добавкой 5% N_2O_4
Удельный вес	1,25	1,25	1,25	1,25
Вязкость по СПВ-5	18,5	23,0	17,0	22,0
Содержание песка, %	2,0	2,0	2,0	2,0
Фильтрация, $\text{см}^3/30$	20,0	8,0	32,0	16,0
Толщина корки, мм	2,5	1,5	4,0	2,0
Стабильность	0,10	0,00	0,18	0,02
Коллоидальность	90,0	100,0	78,0	99,0
Отстой	10,0	0,0	22,0	1,0

Обломочные породы

Гравий и галька

Гравийно-галечниковые отложения имеют широкое распространение в обрывах р.Джербы на участке от устья р.Кутаны до устья р.Эттах. Мощность продуктивного горизонта от 0,5 до 1,5 м, протяженность отдельных обнажений от 100 до 250 м.

Пойменные образования р.Нюи в 4 км выше от пос.Нерюктай содержат пласт песчано-гравийной смеси общей протяженностью до 300-400 м.

ОБЩАЯ ОЦЕНКА ПЕРСПЕКТИВ РАЙОНА И РЕКОМЕНДАЦИИ

Как следует из приведенного материала, наибольший интерес в пределах района работ представляет золото.

Проявления коренного золота приурочены к изверженным породам среднепалеозойской трапповой формации и к измененным поро-

дам, расположенным близ разломов и изверженных тел. Привнос золота, возможно, следует связывать с гидротермальными растворами того же магматического цикла, циркулировавшими по разломам и трещинам, в результате чего гидротермально изменены как траппы, так и осадочные породы близ разломов.

Для поисков золота представляют интерес измененные породы, приуроченные к зонам разломов. Вопрос этот изучен пока совершенно недостаточно. При более или менее значительной ширине (сотни метров) и значительной протяженности зон измененных пород вдоль разломов, по-видимому, возможно выявление промышленных концентраций и запасов золота.

Вторым объектом для поисков золота могут служить образования кварц-карбонатной с сульфидами коры выветривания, которые обычно наблюдаются в основании иреляхской свиты, а также, возможно, породы нижних горизонтов этой свиты.

В окварцованных и пиритизированных породах ордовика и силура, залегающих в основании иреляхской свиты, золото в количестве от 0,4 до 1,6 г/т установлено на р.Джербе (см. выше), а также на реках Виллое и Мархе.

Исходя из сказанного, на территории листа Р-50-ХХII рекомендуется провести геологическую съемку масштаба 1:50 000. Основное внимание при проведении съемки рекомендуется обратить на измененные породы, развитые вдоль зон разломов, а также на поиски и последующее опробование кварц-карбонатной коры выветривания, залегающей в основании иреляхской свиты.

Съемочные работы следует провести на территориях северной половины листа Р-50-II4 и южной половины листа Р-50-I02. Кроме того, целесообразно провести опробование террасовых отложений р.Джербы, в первую очередь, в районе устья р.Курунг-Юрях.

На территории листа специальных геофизических и буровых работ с целью выявления залежей нефти и газа не проводилось. Однако структурное положение (краевая структура платформы), наличие структур, благоприятных для скопления нефти и газа, гидрогеологические данные и наличие признаков нефтеносности по разрезу позволяют оценивать район работ как перспективный в отношении поисков нефтяных и газовых месторождений.

Как указывалось в главе "Тектоника", район работ расположен в пределах Западно-Вилюйской поперечной краевой системы.

Краевые системы (поперечные и продольные), как известно, являются геоструктурными элементами, наиболее благоприятными для поисков нефти и газа. В частности, в Верхнеленской впадине открыто промышленное месторождение нефти (с.Марково).

В пределах района работ имеются структуры, благоприятные для поисков нефти и газа (Салдыкельская, Верхнеджербинская антиклинали). Эти структуры сравнительно незначительно нарушены разрывными нарушениями, нефтеперспективные горизонты в их пределах залегают на достижимой для бурения глубине.

Гидрогеологические исследования, проведенные в Юйско-Джербинской впадине свидетельствуют о высокой закрытости недр, химический состав подземных вод хлор-кальциевый при невысоком содержании сульфатов. Положительным признаком нефте-газоперспективности Юйско-Джербинской впадины является наличие метана до 14,7% объемных (Басков, 1962) в составе растворенных газов в водах ряда источников, расположенных в пределах Мурбайского поднятия. Это указывает на возможное широкое распространение метановых газов в глубоких частях разреза нижнекембрийских отложений.

В целом для региона, в который входят Юйско-Джербинская и Березовско-Кемпендейская впадины, установлено, что наиболее перспективными для поисков нефти и газа являются отложения нижнего кембрия. В нижнем кембрии благоприятными являются породы тиновской свиты алданского яруса и нижние части разреза ленского яруса. В Березовской впадине на Наманинской разведочной площади в юдомской свите (аналогом верхней части которой является тиновская свита) отмечены примазки нефти и включения твердого битума. В разрезе вскрыты олекминскими скважинами песчаники нижней части свиты, которые содержат жидкую нефть. На поверхности керна наблюдались высасывания нефти с пузырьками газа. Содержание нефти в породе в составляет 0,11-5,0%.

В толбачанской свите ленского яруса в пределах Березовской впадины также установлены нефте- и газопроявления. На Наманинской площади в породах свиты установлено наличие осмоленного маслянистого битума (до 1,5%). Там же из пород свиты отмечено свободное выделение углеводородного газа с суточным дебитом 1,2 м³.

Свободное выделение нефтяного газа из пород толбачанской свиты установлено также на Солянском месторождении каменной соли. Дебит газа из скважин составлял 43 м³ в сутки. По составу газ близок к газу, полученному из Наманинской скважины. В отдельных случаях обнадеживающие результаты получены для отложений нечарской свиты. В остальной части разреза содержание битумов незначительно.

Все перечисленные выше данные позволяют дать положительную оценку перспектив нефтегазоносности территории листа. Для окончательного решения вопроса нефтеперспективности территории листа

рекомендуется постановка сейсморазведочных работ на Верхнеджербинском, Нижнеджербинском и Салдыкельском поднятиях с последующим проведением разведочного бурения.

ПОДЗЕМНЫЕ ВОДЫ

Описываемый район принадлежит к восточной части Юйско-Джербинского гидрогеологического бассейна второго порядка, являющегося частью обширного Якутского артезианского бассейна.

В соответствии с геологическими и геоморфологическими условиями, предопределяющими распространение тех или иных водоносных комплексов, места питания и разгрузки подземных вод, пути направления и движения их, водообильность комплексов и химический состав вод, выделяются две резко различные части: южная и северная.

В южной части листа (междуречье Юи, Утакана и Джербы), представляющей собой низкое расчлененное плато с абсолютными отметками 400-500 м и относительными превышениями 100-200 м, развиты карбонатные породы палеозоя с общим направлением падения пород на север-северо-восток 2-4°, интенсивно дислоцированные и нарушенные разломами того же направления.

В пределах северной части территории развита полого-увалистая, лишь местами расчлененная равнина на горизонтально залегающих терригенных отложениях укугутской свиты нижней юры с абсолютными отметками поверхности 300-370 м и относительными превышениями 40-80 м.

На территории развития нижнепалеозойских отложений широким распространением пользуются талые породы, формированию которых способствуют следующие факторы, создающие благоприятные условия для инфильтрации:

1. Широкое распространение карбонатных пород, способность их к растворению и выщелачиванию.

2 Тектоническая трещиноватость.

3. Щебнисто-обломочный состав элювия на карбонатных породах.

Талые породы распространены на большинстве водоразделов и, возможно, в долинах рек, подверженных карстованию или с постоянно действующими крупными водотоками (р.Джерба). В других долинах рек с плохими условиями инфильтрации возможны участки многолетнемерзлых пород мощностью до 100 м (по аналогии с соседними районами).

В северной части территории, перекрытой юрскими отложениями с преимущественно глинистым составом рыхлого четвертичного покрова, наблюдается повсеместное распространение многолетнемерзлых пород, мощностью деятельного слоя от 0,5 до 1 м в зависимости от элементов рельефа.

Юрские отложения мощностью до 136 м нацело проморожены и являются региональным водоупором, препятствующим инфильтрации вод, что приводит к частой заболачиваемости широких плоских водоразделов.

Отсутствие многолетней мерзлоты на водоразделах, сложенных карбонатными породами нижнего палеозоя, их более высокое гипсометрическое положение в рельефе, создают благоприятные условия для питания на этих участках подземных вод.

Основным источником питания являются атмосферные осадки и инфильтрация поверхностных вод.

Довольно значительная глубина вреза основной речной сети, однородность литологического состава пород, отсутствие сплошных водоупоров в пределах мощной толщи карбонатных отложений, ведут к глубокому залеганию уровня подземных вод на большей части территории, что проявляется в отсутствии выходов их на поверхность.

На территории листа источники довольно редки. Места их выхода приурочиваются либо к нижним частям склонов наиболее глубоко врезанных долин рек Нюи, Джербы, Утакана, либо к местам пересечения долин более высоких порядков с зонами тектонических нарушений.

Основное направление движения подземных вод от области питания на север-северо-восток определяется падением нижнепалеозойских пород к центру Якутского бассейна.

В соответствии с литологическим составом, возрастом водоносных пород и условиями циркуляции в них подземных вод могут быть выделены два основных водоносных комплекса:

1. Водоносный комплекс четвертичных отложений и коры выветривания нижнеюрских пород с поровыми водами.

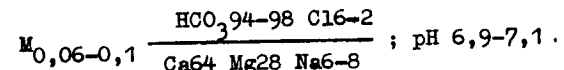
2. Водоносный комплекс палеозойских карбонатных и терригенных отложений (ордовика, нижнего силура и девона).

Водоносный комплекс четвертичных отложений и коры выветривания нижнеюрских пород. Этот водоносный комплекс распространен преимущественно в северной части планшета на территории развития нижнеюрских пород, а также по долинам рек и мелких речек района и содержит поровые воды. Водоносными породами являются четвертичные отложения и кора выветривания юрских пород.

носящих часто глинистый характер, что предопределяет крайне незначительную водообильность их. Водоносный горизонт имеет характер верховодки, действующей лишь в теплый период года, водоупорным основанием которого является верхняя поверхность многолетнемерзлых пород.

Расходы источников этого комплекса незначительные - 0,1-0,2 л/сек. Водоносность четвертичных отложений в поле развития нижнепалеозойских пород даже в самый теплый период года очень кратковременная, лишь в период интенсивного выпадания осадков, быстро инфильтрующихся в толщу карбонатных пород и идущих на пополнение подземных вод основного горизонта. Здесь большей частью характерны сухие русла, особенно в верховьях их.

По химическому составу воды описываемого комплекса принадлежат в основном к группе бессульфатных гидрокарбонатных магниево-кальциевых с низкой минерализацией (до 100 мг/л, редко выше). Состав их, по полученным данным, может быть представлен по формуле Курлова:



Водоносный комплекс нижнепалеозойских карбонатных и терригенных отложений. Этот водоносный комплекс распространен в основном на южной половине территории. В соответствии с возрастом и литологией водоносных пород можно выделить:

1. Водоносный горизонт преимущественно трещинно-карстовых вод в известняках нижнего ордовика.

2. Водоносный горизонт преимущественно трещинно-пластовых вод пестроцветных отложений среднего-верхнего ордовика.

3. Водоносный горизонт трещинно-пластовых и трещинно-карстовых вод в известняках, доломитах и алевролитах нижнего силура и девона.

Ввиду отсутствия выдержаных региональных литологических и мерзлотных водоупоров в описываемой части территории, все перечисленные водоносные горизонты взаимосвязаны, имеют единую область питания, единое направление стока и обладают свободным уровнем. По мере погружения этих водоносных горизонтов к северу под промороженный чехол юрских отложений воды приобретают напор.

Трещинно-пластовые и трещинно-карстовые воды нижнего силура и ордовика питают ряд источников, выходы которых иногда прослеживаются на протяжении десятков метров и известны в долинах рек

Джербы, Утакана, Юи и более мелких притоков их часто на пересечении этих долин с зонами тектонических нарушений или с зонами контактов карбонатных и терригенных разностей.

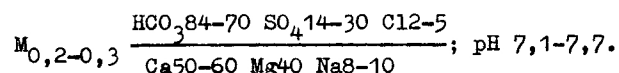
Дебиты источников весьма различны: от нескольких литров в секунду до 20-30 л/сек и выше, достигая в исключительных случаях 400 л/сек (источник в долине р.Чайдах). Места постоянных выходов часто фиксируются наличием наледей. Источники в большинстве случаев нисходящего типа, что указывает на расположение описываемых водоносных горизонтов, выше местных базисов эрозии. Наиболее водобильны карбонатные разности отложений нижнего ордовика, наименее пестроцветны отложения среднего-верхнего ордовика.

По химическому составу воды весьма неоднородного состава: либо сульфатно-гидрокарбонатные, либо гидрокарбонатно-сульфатные, кальциевые или магниевые.

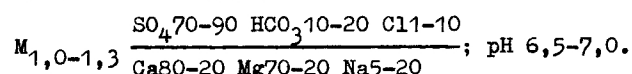
Величина минерализации их меняется от 0,2-0,3 до 1,0-1,3 г/л. Наибольшая минерализация свойственна сульфатным водам.

Повышенное содержание сульфатов в подземных водах обусловлено наличием гипсов в водоносных породах.

Типовой состав воды гидрокарбонатного состава территории списка Р-50-ХХУП может быть выражен следующей формулой Курлова:



Для сульфатных вод формула имеет вид:



Все воды характеризуют зону свободного водообмена.

ЛИТЕРАТУРА

Опубликованная

Арсеньев А.А., Иванова В.В. К стратиграфии палеозоя и мезозоя среднего течения р.Вилуй. В сб.: "Вопросы геологии Азии", т. I. 1954.

Бабаян Г.Д., Бархатов Г.В., Васильев В.Г. и др. Геологическое строение и нефтегазоносность Якутской АССР. Гостоптехиздат. 1960.

Бархатов Г.В. О кристаллическом фундаменте север-

ного склона Алданского массива и Вилюйской синеклизы. Мат. по геол. и пол.ископ. ЯАССР, вып.2. Якутск, 1960.

Басков Е.А. Новые данные о подземных водах бассейна р.Юи в Восточной Сибири. Информационный сборник ВСЕГЕИ, № 56, 1962.

Гоньшакова В.И. Палагонитовые миндалекаменные диабазы западной части Вилюйской впадины. Записки Всес.мин.об-ва, часть 84, вып.3, 1955.

Гоньшакова В.И. Трапповая формация юго-восточной части Сибирской платформы. В кн.: "Петрография Восточной Сибири", том I. М., 1962.

Зегебарт Д.К., Васильев В.Г. Геологические исследования палеозоя и мезозоя между речьями Лены - Нижн.Тунгуски и Чоны. Бюл. МОИП, нов.серия, т.ХУШ, 1953.

Колюн М.Н. Стратиграфо-литологический очерк верхоленской свиты кембрия среднего и верхнего течений р.Лены. Мат-лы по геол. и геоморфол. Сибирской платф., вып.24. ВСЕГЕИ, 1959.

Комар В.А. и Чумаков Н.М. Средне- и верхнепалеозойские отложения западной части Вилюйской впадины. Изв. АН СССР, сер.геол., № 4, 1957.

Коржуев С.С. Геоморфология долин средней Лены и прилегающих районов. Изд-во АН СССР, 1959.

Масатис В.Л. Интрузии расколов Вилюйско-Мархинской флексуры. Мат-лы ВСЕГЕИ, вып.24. Л., 1959.

Масатис В.Л. Трапповая формация бассейна р.Вилюй. В кн.: "Петрография Восточной Сибири", т. I. М., 1962.

Масатис В.Л. Среднепалеозойская трапповая формация по Сибирской платформе. ДАН СССР, т.162, № 3, 1965.

Масатис В.Л., Михайлов М.В. Среднепалеозойская вулканогенно-осадочная серия Ыгыаттинской впадины. "Геология и геофизика", № 4, 1966.

Михайлов М.В., Гридацов Н.Г. К вопросу о возрасте кимберлитовой трубки "Мир". Мат-лы по геол. и пол.иск. ЯАССР, вып. XI. Якутск, 1963.

Михайлов М.В., Филатов В.Ф. К вопросу о возрасте Кемпендийской и Ыгыаттинской впадин и Сунтарского погребенного горста. "Геология и геофизика", № 7, 1965.

Обручев В.А. Геология Сибири. Тома I-III, 1935-1938.

Обручев В.А. История геологического исследования Сибири. Периоды I-5. Изд-во АН СССР, 1931-1946.

Покровская Н.В. Стратиграфия кембрийских отложений юга Сибирской платформы. В сб.: "Вопросы геологии Азии", т. I. 1954.

Старостина З.М. Геологическое строение северной окраины Патомского нагорья и прилегающей части Ленского пенсильена. Бюл. МОИП, отд. геол., т. XIII (3). 1935.

Чумаков Н.М. Стратиграфия и тектоника юго-западной части Вилюйской синеклизы. В кн.: "Тектоника СССР", т. 4. 1959.

Чеботарева Н.С., Куприна Н.П., Хорева И.М. Стратиграфия четвертичных отложений среднего течения р.Лены и низовьев р.Алдана. В сб.: "Ледниковый период на терр. сев. части СССР и Сибири". 1959.

Шатский Н.С. Основные черты тектоники Сибирской платформы. Бюл. МОИП, отд. геол., т. X, вып. 3-4. 1932.

Фондовая^{x/}

Бабушкин Б.В., Кумузова Т.С. Отчет о результатах аэромагнитной съемки масштаба 1:200 000, проведенной партией № 4 в 1957 г. на территории Ленского, Нюрбинского, Сунтарского, Олененского и Жиганского районов ЯАССР. 1958.

Бархатов Г.В., Бархатова М.В. Окончательный отчет по работам Нойской геологосъемочной партии. Рукопись. 1949.

Басков Е.А. Отчет Лено-Вилюйской гидрогеологической Восточно-Сибирской экспедиции ВСЕГЕИ по работам 1953-1954 гг. 1954.

Белова А.П., Высоцкий В.И. Геологическое описание бассейна р. Вилюй и левобережья р. Лены (сводный отчет по съемке масштаба 1:1 000 000). 1957.

Блюменцев В.И. Отчет о работах Якутской аэромагнитной партии № 14/54, выполненных на территории Якутской АССР в 1959 г. Рукопись.

Борушко Г.С., Валицкий В.М. Геологическое строение Джеринско-Уринского водораздела (отчет Уринской геологосъемочной партии № I/58 по работам 1958 г.).

Валицкий В.М. Геологическое строение р. Эргеджей (основной отчет партии № I/59 за 1959 г.).

Гурапи Ф.Г. Геологическое строение и нефтеносность северного погружения Байкальской складчатости и области сочленения ее с северо-западным склоном Алданского массива (отчет Верхне-Ленской партии, 1941 г.). Рукопись.

^{x/} Все указанные работы хранятся в фонде Якутского ТГУ.

Хижкова Ж.Х. Геологическое строение нижнего течения р. Улахан-Мурбан и Лено-Нойского водораздела (лист Р-50-XXV). Отчет о работе Нижне-Мурбайской геологосъемочной партии № 2/60 за 1960 г. Рукопись.

Комина Л.И. Отчет о работе Джеринского отряда партии № 127 в Сунтарском и Мухтуйском районах ЯАССР.

Коротких М.А. Геологическое строение р. Нуи на участке между р. Нерюктей и колхозом "Социализм" (отчет Усть-Нойской геологосъемочной партии по работам 1951 г.).

Корчагин В.П., Нахабцев Ю.С. Материалы к Государственной геологической карте СССР масштаба 1:200 000. Геологическое строение левобережья нижнего течения р. Нуи, в бассейне р. Утакан. Якутск, 1964.

Левин К.П. Геоморфология долины среднего течения р. Лены (отчет о работе Ленской экспедиции за 1952-1953 гг.). Москва, 1956. Рукопись.

Михайлов М.В., Иванов С.А., Колева-това Б.И. Материалы к Государственной геологической карте СССР масштаба 1:200 000 (восточная половина листа Р-50-XXVII). Геологическое строение нижнего течения р. Джербы и р. Нуи. 1965.

Нахабцев Ю.С., Михайлов М.В., Гридацов Н.В., Спевак А.С. Геологическое строение и перспективы нефтегазоносности Вилюйско-Нойского междуречья. 1962.

Одинцова М.М., Смирнова О.К., Файнштейн Г.Х. Геология, закономерности формирования и размещения юрских алмазоносных отложений Западной Якутии (сводный отчет Вилюйской алмазной партии за счет 1957-1960 гг.). 1961.

Олешко В.М., Бородин А.А., Орлов Ю.С. Геологическое строение верховьев бассейна р. Джербы (южная половина листа Р-50-XXI). 1963.

Охлопков П.М. Основной отчет Верхне-Джеринской геологосъемочной партии. 1951 г.

Охлопков П.М. Основной отчет Джеринской партии по работам 1949 г. 1950.

Разумовская Е.Э., Никифорова О.И. Сопоставление разрезов нижнего палеозоя по бассейнам рек Вилюя, Джербы и нижнего течения р. Нуи. 1951.

Тимофеев С.А., Крылов В.М. Геологическое строение Лено-Нойского междуречья (южная половина листа Р-50-XXVI). 1962.

Тимофеев С.А., Лукьянова Ж.Х., Трунилина В. Геологическое строение междуречья Оччугуй - Мур-

бай - Улугур (северная половина листа Р-50-ХХVI). Отчет о работе Бетенченской геологосъемочной партии за 1962 г. 1963.

Ушаков А.И. Геологическое строение бассейнов рек Бэтичче и Вилуйчаан, лист Р-50-XX. Отчет Вилуйской геологосъемочной партии. 1961.

Филатов В.Ф., Михайлов М.В. и др. Тектоника и неотектоника западной и южной частей Вильской синеклизы по данным морфометрического анализа. 1964.

Фрадкин Г.С. Геологическое строение бассейна р.Лены на участке от пос.Хамра до с.Юи (геологический отчет Среднеленской региональной партии за 1951 г.). Фонды ЯГГУ.

Приложение I

СПИСОК
МАТЕРИАЛОВ, ИСПОЛЬЗОВАННЫХ ДЛЯ СОСТАВЛЕНИЯ КАРТЫ
ПОЛЕЗНЫХ ИСКОПАЕМЫХ

№ п/п	Фамилия и инициалы автора	Название работ	Год составления или издания	Местонахождение материала, его фондовый № или место издания
1	Корчагин В.П. и др.	Материалы к Государственной геологической карте СССР масштаба 1:200 000. Геологическое строение левобережья нижнего течения р.Юи, в бассейне р.Утакан	1964	Геолфонд ЯГУ, № 104
2	Михайлов М.В. и др.	Материалы к Государственной геологической карте СССР масштаба 1:200 000. Геологическое строение нижнего течения р.Джербы и р.Юи	1965	Там же
3	Охлопков П.М.	Основной отчет Верхне-Джербинской геологосъемочной партии	1951	Там же, № 0392

Приложение 2

СПИСОК
ПРОМЫШЛЕННЫХ МЕСТОРОЖДЕНИЙ ПОЛЕЗНЫХ ИСКОПАЕМЫХ,
ПОКАЗАННЫХ НА ЛИСТЕ Р-50-ХХУП ГЕОЛОГИЧЕСКОЙ КАРТЫ
СССР МАСШТАБА 1:200 000

№ по карте	Индекс клетки на карте	Наименование месторождения и вид полезного ископаемого	Состояние эксплуатации	Тип месторождения (К-коренное)	№ использованного материала по списку (прил. 1)
10	III-4	СТРОИТЕЛЬНЫЕ МАТЕРИАЛЫ Глины кирпичные р.Урсалах	Не эксплуатируется	К	3

Приложение 3

СПИСОК
ПРОЯВЛЕНИЙ ПОЛЕЗНЫХ ИСКОПАЕМЫХ, ПОКАЗАННЫХ НА
ЛИСТЕ Р-50-ХХУП ГЕОЛОГИЧЕСКОЙ КАРТЫ СССР МАСШТАБА 1:200 000

№ по карте	Индекс клетки на карте	Наименование проявления и вид полезного ископаемого	Характеристика проявления	№ использованного материала по списку (прил. 1)
МЕТАЛЛИЧЕСКИЕ ИСКОПАЕМЫЕ				
Благородные металлы				
Золото				
3	II-4	Джербинское	По данным пробирного анализа, 0,5 г/т в известняках	2
5	II-4	Джербинское	То же, 2,0 г/т в туффизитах	2
8	III-4	Джербинское	То же, 0,5 г/т в туффизитах	2
II	IY-1	Нюйское	То же, 0,9 г/т в туффизитах	2
9	III-4	Онгкучахское	То же, 1,2 г/т в алевролитах	2
6	III-3	Сарынское	То же, 0,5 г/т в известняках	2
7	III-3	Утаканское	То же, 2,4 г/т в известняках	2
I	II-3	Чайдахское	То же, 0,8 г/т в известняках	2
2	II-3	Чайдахское	То же, 1,9 г/т в известняках	2
4	II-4	Эргеджейское	То же, 0,6 г/т в долеритах	2

СОДЕРЖАНИЕ

	Стр.
Введение	3
Стратиграфия	8
Интузивные образования.	22
Тектоника.	25
Геоморфология.	38
Полезные ископаемые.	44
Подземные воды	51
Литература.	54
Приложения	59

В брошюре пронумеровано 63 стр.

Редактор М.А. Трифонова
Технический редактор Е.М. Павлова
Корректор С.Г. Комиссарова

Сдано в печать Д/У 1973 г. Подписано к печати 10/ХI 1974 г.
Тираж 200 экз. Формат 60x90/16 Печ.л. 4,0 Заказ 600с

Центральное специализированное
производственное хозрасчетное предприятие
Всесоюзного геологического фонда